



INFORME

Estudio de Impacto Odorante "Plantel porcino San Agustín del Arbolito"

05 de febrero del 2020
Inf02E01.O-20-067



Datos del Proyecto

Empresa : Agrícola Coexca S.A.

Plantel : San Agustín del Arbolito.

Coordinador : Cesar Contreras – Agrícola Coexca S.A.

Jefe de Proyecto : Miguel Gatica Rivera (MGR)
Claudio Burdiles Melgarejo (CBM).

Ingeniero de Proyecto : Claudio Burdiles Melgarejo (CBM).

Fecha : 05 de febrero del 2020.

Emisión	Datos	Preparó	Revisó	Aprobó
Rev.A Para Revisión Cliente	Nombre	CBM	MGR	MGR
	Fecha	04-02-2020	04-02-2020	05-02-2020

Índice General

1 Resumen.....	7
2 Introducción	10
3 Objetivo General	11
3.1 Objetivos específicos	11
4 Metodología.....	11
4.1 Caracterización de las fuentes de emisión de olor.	11
4.2 Estimación de concentración y emisiones de olor	12
4.3 Evaluación de la dispersión de las emisiones de olor.....	13
4.3.1 Selección del modelo.....	13
4.3.2 Recopilación de los antecedentes para la modelación.....	13
4.3.3 Variables meteorológicas y geofísicas	14
4.3.4 Evaluación de los resultados	15
4.3.5 Área de Influencia y receptores de interés.	16
4.4 Evaluación del desempeño del archivo de pronóstico utilizado	16
5 Resultados	17
5.1 Caracterización de las fuentes de emisión	17
5.2 Emisiones de olor.....	19
5.2.1 Emisiones muestreadas plantel de cerdos San Agustín del Arbolito: Campaña Diciembre.....	19
5.2.2 Emisiones actuales plantel de cerdos San Agustín del Arbolito	21
5.2.3 Características fuentes de emisión ingresadas al modelo.....	22
5.3 Evaluación de la dispersión de olores del plantel de cerdos.....	26
5.3.1 Resultados emisión de olor del plantel.....	26
5.4 Análisis del desempeño del archivo de pronóstico utilizado	36
6 Conclusiones	38
7 Anexos.....	39
7.1 Anexo N°1. Esquema de funcionamiento Calpuff y elementos de modelación	39
7.2 Anexo N°2. Análisis de receptores.	42
7.3 Anexo N°3. Descripción meteorológica y geofísica de la zona	44
7.3.1 Cantidad de datos.....	44
7.3.2 Gráficos Ciclo diario.....	47
7.3.3 Gráficos Distribución de Vientos	51
7.3.4 Rosa de los vientos	52
7.3.5 Gráficos ciclo estacional	54
7.3.6 Elevación de Terreno.....	57
7.4 Anexo N°4. Análisis incertidumbre	58
7.4.1 Ciclos Diarios promedios	59

7.4.2 Promedio Mensuales	62
7.4.3 Dirección de viento	65
7.4.4 Análisis cuantitativo	66

Índice de Tablas

Tabla Nº 1. Emisiones promedio de diciembre de fuentes del plantel.	7
Tabla Nº 2. Concentración receptores. Percentil 98 receptores mes de diciembre.....	9
Tabla Nº 3. Variables de entrada consideradas en la modelación	13
Tabla Nº 4. Informes de referencia de mediciones históricas.	14
Tabla Nº 5. Características del archivo meteorológico WRF.	14
Tabla Nº 6. Descripción fuentes generadoras de olor actuales del plantel de Cerdos – San Agustín del Arbolito.	17
Tabla Nº 7. Coordenadas de referencia de los sectores modelados.	17
Tabla Nº 8. Concentración de olor pabellones con tecnología tipo túnel.	19
Tabla Nº 9. Emisiones de pabellones recría-finalización.	20
Tabla Nº 10. Emisión de olor zona de aplicación de riego efluente tratado.	21
Tabla Nº 11. Emisión de zona de transferencia.	21
Tabla Nº 12. Emisión de olor actual plantel de cerdos San Agustín del Arbolito.....	21
Tabla Nº 13. Chimeneas pabellones sitio actual.....	22
Tabla Nº 14. Tasa de emisión diaria medidas en Octubre y Noviembre.	23
Tabla Nº 15. Factores estacionales estimados con datos del proveedor.	24
Tabla Nº 16. Máxima concentración del plantel de cerdos.	28
Tabla Nº 17. Receptores identificados en la caracterización de receptores.....	29
Tabla Nº 18. Concentración receptores. Percentil 98.	32
Tabla Nº 19. Protocolo FIDOL con base a receptores definidos.	35
Tabla Nº 20. Dimensiones de los pabellones.	41
Tabla Nº 21. Datos estaciones meteorológicas consideradas.	44
Tabla Nº 22. Datos válidos estación meteorológica Campanacura.....	45
Tabla Nº 23. Datos válidos estación meteorológica Linares.	47
Tabla Nº 24. Análisis cuantitativo.	66

Índice de Figuras

Figura Nº 1. Mapa de concentración de olor generado por las fuentes de emisión del plantel de cerdos (Percentil 98).....	8
Figura Nº 2. Área del estudio de impacto odorante.	10
Figura Nº 3. Diagrama metodología de caracterización de olor.	12
Figura Nº 4. Fuentes consideradas para modelación.....	18
Figura Nº 5. Fuentes consideradas en el estudio.....	22
Figura Nº 6. Fuentes de emisión modeladas sitio actual.....	25
Figura Nº 7. Mapa de concentración de olor generado por las fuentes de emisión del plantel de cerdos. Promedio horario (percentil 98).	27
Figura Nº 8. Área de Influencia del plantel de cerdos.....	28
Figura Nº 9. Receptores de interés analizados.	32
Figura Nº 10. Mapa de horas sobre 3 OUE/m ³ generado por las fuentes de emisión del plantel de cerdos. Promedio horario (percentil 98).	34
Figura Nº 11. Estación Meteorológica utilizada en el Análisis de Incertidumbre.....	37
Figura Nº 12. Esquema funcionamiento CALPUFF.....	39

Figura Nº 13. Esquema efecto downwash.	40
Figura Nº 14. Esquema de los pabellones considerados.	41
Figura Nº 15. Concentraciones horarias (OUE/m ³), Distribución horaria. Receptor Nº6.	42
Figura Nº 16. Concentraciones horarias (OUE/m ³), Distribución horaria. Receptor Nº24.	43
Figura Nº 17. Concentraciones horarias (OUE/m ³), Distribución horaria. Receptor Nº29.	43
Figura Nº 18. Serie de tiempo velocidad de viento – datos observados estación Campanacura – año 2019.	44
Figura Nº 19. Serie de tiempo dirección de viento – datos observados estación Campanacura – año 2019.	45
Figura Nº 20. Serie de tiempo temperatura – datos observados estación Campanacura – año 2019.	45
Figura Nº 21. Serie de tiempo velocidad de viento – datos observados estación Linares – año 2019.	46
Figura Nº 22. Serie de tiempo dirección de viento – datos observados estación Linares – año 2019.	46
Figura Nº 23. Serie de tiempo temperatura – datos observados estación Linares – año 2019.	47
Figura Nº 24. Ciclo diario para velocidad de viento Campanacura.	48
Figura Nº 25. Ciclo diario para velocidad de viento Linares.	48
Figura Nº 26. Ciclo diario para dirección de viento estación Campanacura.	49
Figura Nº 27. Ciclo diario para dirección de viento estación Linares.	49
Figura Nº 28. Ciclo diario para temperatura estación Campanacura.	50
Figura Nº 29. Ciclo diario para temperatura estación Linares.	50
Figura Nº 30. Distribución velocidades de viento estación Campanacura.	51
Figura Nº 31. Distribución velocidades de viento estación Linares.	51
Figura Nº 32. Rosa de los vientos Anual. Estación Campanacura.	52
Figura Nº 33. Rosa de los vientos Anual. Estación Linares.	52
Figura Nº 34. Rosa de los vientos por estación del año.	54
Figura Nº 35. Ciclos estacionales – datos observados estación Campanacura – Año 2019.	55
Figura Nº 36. Ciclos estacionales – datos observados estación Linares – Año 2019.	56
Figura Nº 37. Elevación de terreno archivo WRF.	57
Figura Nº 38. Comparación ciclo diario de velocidad de viento entre datos observados y proyectados para la estación de Campanacura.	59
Figura Nº 39. Comparación ciclo diario de velocidad de viento entre datos observados y proyectados para la estación de Linares.	59
Figura Nº 40. Comparación ciclo diario de dirección de viento entre datos observados y proyectados para la estación de Campanacura.	60
Figura Nº 41. Comparación ciclo diario de dirección de viento entre datos observados y proyectados para la estación de Linares.	60
Figura Nº 42. Comparación ciclo diario de temperatura entre los datos observados y proyectados para la estación de Campanacura.	61
Figura Nº 43. Comparación ciclo diario de temperatura entre los datos observados y proyectados para la estación de Linares.	61
Figura Nº 44. Comparación moda mensual de velocidad de viento entre datos observados y proyectados para la estación de Campanacura.	62
Figura Nº 45. Comparación moda mensual de velocidad de viento entre datos observados y proyectados para la estación de Linares.	62
Figura Nº 46. Comparación moda mensual de dirección de viento entre datos observados y proyectados para la estación de Campanacura.	63



Figura N° 47. Comparación moda mensual de dirección de viento entre datos observados y proyectados para la estación de Linares.	63
Figura N° 48. Comparación moda mensual de temperatura entre los datos observados y proyectados para la estación de Campanadura.	64
Figura N° 49. Comparación moda mensual de temperatura entre los datos observados y proyectados para la estación de Linares.	64
Figura N° 50. Comparación Rosas de viento.	65

1 Resumen

Agrícola Coexca S.A, solicitó los servicios de Proterm S.A para llevar a cabo un Estudio de Impacto Odorante durante el mes de diciembre. El presente estudio tiene como objetivo determinar y/o descartar posible afectación a la calidad de vida de las personas, producto de la operación actual del plantel de cerdos San Agustín del Arbolito, ubicado en la comuna de San Javier, provincia de Linares, región del Maule.

El actual plantel tiene resoluciones exentas de calificación ambiental RCA N°225/2019 y RCA N°165/2008 que considera la operación de 24 pabellones de recría-finalización de cerdos, una zona de transferencia, y una zona de aplicación de riego de efluente tratado de 150 ha.

Para determinar las emisiones de olor del plantel del mes diciembre, se realizó un muestreo estático bajo la NCh N°3386:2015 y N°3431:2020, para posteriormente realizar un análisis olfatométrico bajo la NCh N°3190:2010 en el laboratorio de Proterm S.A. Los resultados del estudio son presentados en dos informes correspondientes a: (A) Informe de resultados de concentración de olores “Plantel porcino San Agustín del Arbolito” (Inf01E1.O-20-067), (B) Estudio de Impacto Odorante, este último corresponde al presente informe (Inf02E01.O-20-67).

A continuación, se presentan las emisiones determinadas del plantel de cerdos.

Tabla N° 1. Emisiones promedio de diciembre de fuentes del plantel.

Fuente	Cantidad	Emisión total (OU _E /s)
Pabellones de recría y finalización	24	640.121 ¹
Zona de transferencia	1	6.053
Zona de aplicación de riego de efluente tratado	-	468.179

Una vez obtenida la tasa de emisión de olor (OU_E/s) de cada fuente, estas fueron ingresadas a un modelo de dispersión atmosférica calpuff para obtener las concentraciones de inmisión de olor. Los resultados de las concentraciones de olor (OU_E/m³) arrojadas por el modelo de dispersión, fueron comparados con el límite establecido en la RCA N°225/2019 de 3 OU_E/m³ (Percentil 98).

La dispersión de las emisiones de olor del plantel de cerdos indica que el área de influencia cubre un área total de 13,5 km², distribuyéndose entre la zona de riego y los pabellones, con una longitud aproximada de 6,27 km en dirección noreste y suroeste. El área circunscrita por 1 OU_E/m³, establecida en la “Guía para la predicción y evaluación de impactos por olor en SEIA” del año 2017, indica la concentración en donde el 50% de la población puede comenzar a detectar un olor. Fuera del límite del plantel, las concentraciones de olor varían entre 1,0 y 5,0 OU_E/m³.

¹ Valor promedio diario noviembre de los 24 pabellones a diferentes edades

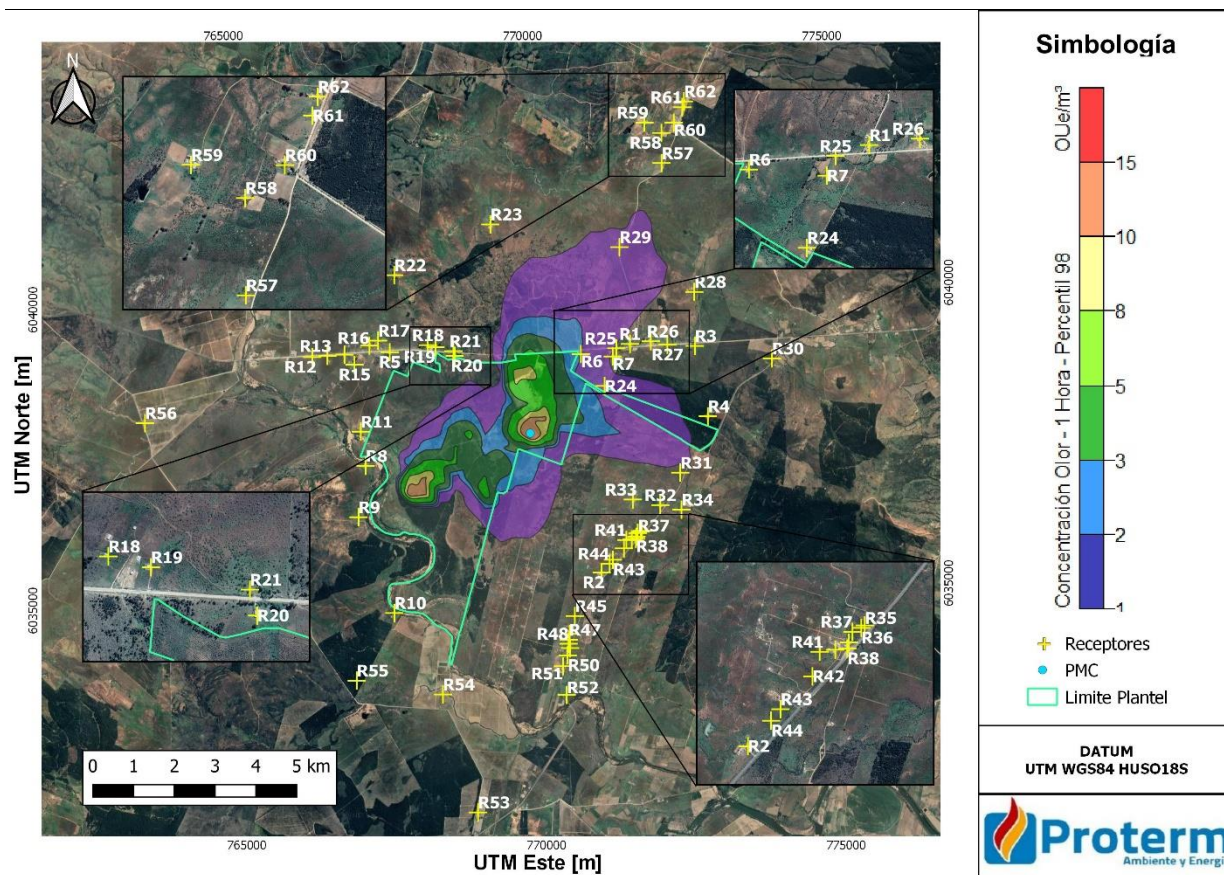


Figura Nº 1. Mapa de concentración de olor generado por las fuentes de emisión del plantel de cerdos (Percentil 98).

Con base a lo mencionado anteriormente, en la siguiente Tabla, se presenta en forma detallada las concentraciones de inmisión de olor en los receptores, donde puede observar que ninguno supera las 3 OU_E/m³ (Percentil 98).

Tabla Nº 2. Concentración receptores. Percentil 98 receptores mes de diciembre.

Nº	Concentración de inmisión (OU _E /m ³)	Horas al año >3 OU _E /m ³	Nº	Concentración de inmisión (OU _E /m ³)	Horas al año >3 OU _E /m ³
R1	0,82	23 (0,26%)	R32	0,52	20 (0,23%)
R2	0,34	2 (0,02%)	R33	0,58	15 (0,17%)
R3	0,54	18 (0,21%)	R34	0,51	15 (0,17%)
R4	0,90	43 (0,49%)	R35	0,37	11 (0,13%)
R5	0,13	2 (0,02%)	R36	0,37	9 (0,10%)
R6	1,97	88 (1,00%)	R37	0,36	7 (0,08%)
R7	0,93	30 (0,34%)	R38	0,35	5 (0,06%)
R8	0,10	2 (0,02%)	R39	0,35	6 (0,07%)
R9	0,08	(0,00%)	R40	0,36	2 (0,02%)
R10	0,13	1 (0,01%)	R41	0,38	3 (0,03%)
R11	0,10	1 (0,01%)	R42	0,38	1 (0,01%)
R12	0,04	0 (0,00%)	R43	0,33	4 (0,05%)
R13	0,05	0 (0,00%)	R44	0,34	4 (0,05%)
R14	0,06	0 (0,00%)	R45	0,36	0 (0,00%)
R15	0,07	0 (0,00%)	R46	0,40	0 (0,00%)
R16	0,09	0 (0,00%)	R47	0,40	0 (0,00%)
R17	0,09	1 (0,01%)	R48	0,40	1 (0,01%)
R18	0,31	8 (0,09%)	R49	0,39	0 (0,00%)
R19	0,38	9 (0,10%)	R50	0,36	1 (0,01%)
R20	0,57	11 (0,13%)	R51	0,37	0 (0,00%)
R21	0,53	11 (0,13%)	R52	0,32	0 (0,00%)
R22	0,10	0 (0,00%)	R53	0,26	0 (0,00%)
R23	0,43	3 (0,03%)	R54	0,28	0 (0,00%)
R24	1,56	86 (0,98%)	R55	0,08	0 (0,00%)
R25	0,94	26 (0,30%)	R56	0,02	0 (0,00%)
R26	0,65	11 (0,13%)	R57	0,84	7 (0,08%)
R27	0,54	19 (0,22%)	R58	0,74	2 (0,02%)
R28	0,64	11 (0,13%)	R59	0,67	1 (0,01%)
R29	1,17	4 (0,05%)	R60	0,74	6 (0,07%)
R30	0,53	16 (0,18%)	R61	0,72	4 (0,05%)
R31	0,88	42 (0,48%)	R62	0,71	4 (0,05%)

Dado los resultados anteriores, las concentraciones en las comunidades cercanas no superan el límite de 3 OU_E/m³ (Percentil 98) establecido en la RCA N°225/2019.

2 Introducción

Agrícola Coexca S.A, solicitó los servicios de Proterm S.A para llevar a cabo un Estudio de Impacto Odorante del plantel porcino San Agustín del Arbolito. El presente estudio tiene como objetivo determinar y/o descartar posible afectación a la calidad de vida de las personas, producto de la operación durante el mes de diciembre, ubicado en la comuna de San Javier, provincia de Linares, región del Maule.

A continuación, se detalla la ubicación espacial del área de estudio considerada para el estudio de impacto odorante.

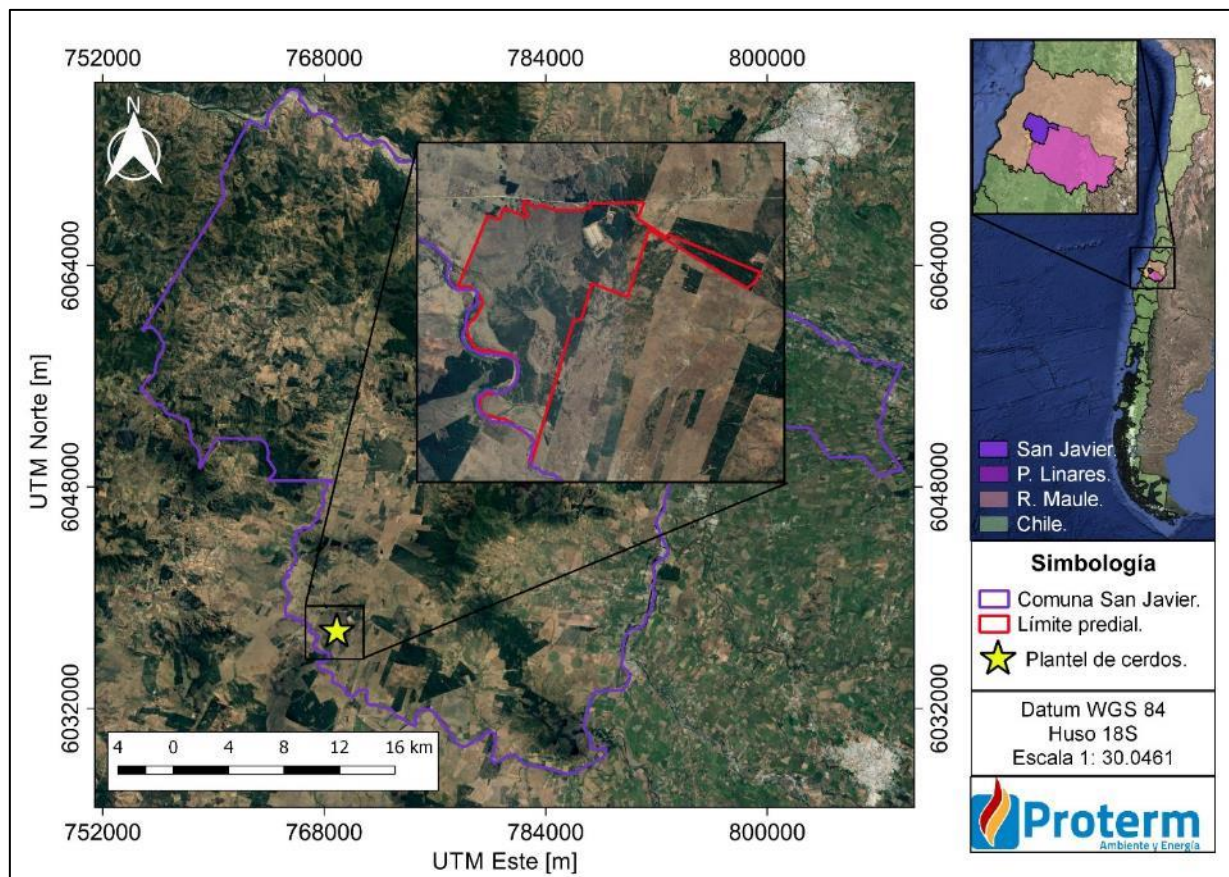


Figura Nº 2. Área del estudio de impacto odorante.

Actualmente el plantel cuenta con resoluciones exentas de calificación ambiental RCA N°225/2019 y RCA N°165/2008 que considera la operación de 24 pabellones de recría y finalización de cerdos, una zona de transferencia, y una zona de aplicación de riego del efluente tratado de 150 ha.

El presente informe evalúa la dispersión de las emisiones de olor generadas actualmente por las instalaciones del plantel de cerdos de San Agustín del Arbolito.

3 Objetivo General

Evaluar las emisiones de olor generadas por plantel porcino San Agustín del Arbolito sobre la salud de la población cercana, sistema de vida, costumbres, población protegida y turismo en el mes de diciembre.

3.1 Objetivos específicos

- Determinar la tasa de emisión de olor de las fuentes monitoreadas.
- Estimar las emisiones de olor generadas por el plantel de cerdos San Agustín del Arbolito.
- Determinar la dispersión de las emisiones generadas por el plantel de cerdos San Agustín del Arbolito.
- Comparar los valores de concentración de inmisión de olor, establecido en la RCA N°225/2019.

4 Metodología

A continuación, se presenta la metodología utilizada que permitió evaluar el efecto de las emisiones de olor actuales del plantel de cerdos San Agustín del Arbolito.

4.1 Caracterización de las fuentes de emisión de olor.

Para poder caracterizar las fuentes generadoras de olor del plantel, se utilizaron las siguientes metodologías:

- Detección satelital: mediante Google Earth Pro², se identificaron las superficies de las fuentes generadoras de emisión y la distancia de los receptores con respecto al plantel.
- Muestreo de olor: el 28 y 29 de diciembre de 2020, y 18 y 19 de enero de 2021 se realizó un muestreo en el plantel de cerdos, con su posterior análisis olfatométrico, con la finalidad de obtener la concentración de olor y con ello la emisión generada por las fuentes.
- Revisión bibliográfica: fue necesario revisar en el Servicio de Evaluación Ambiental, el estudio de impacto odorante de la DIA “Optimización del sistema de manejo de purines del primer grupo de 24 pabellones del plantel porcino de 10 mil madres, San Agustín del Arbolito” RCA N°225/2019. Por otro lado, se utilizaron las emisiones históricas de olor de la zona de aplicación de riego de efluente tratado, zona de transferencia y los pabellones indicadas para el mes de octubre en el informe Inf02E01.O-20-67.
- Solicitud de información al cliente: donde se especifican periodos de funcionamiento de las fuentes, dimensiones, características, operación de los ventiladores y receptores.

² Versión 7.1.5.1557 de Google Earth

4.2 Estimación de concentración y emisiones de olor

Para determinar las emisiones de olor del plantel se realizó un muestreo estático el 28 y 29 de diciembre de 2020, y 18 Y 19 de enero de 2021, en los pabellones N°1, N°10, N°15 y N°21 todos con tecnología tipo túnel. Junto a las fuentes anteriores se realizó una medición de la zona de transferencia y la zona de aplicación de efluente tratado. Las mediciones se realizaron acordes a la NCh N°3386:2015, para posteriormente realizar un análisis olfatométrico acorde a la NCh N°3190:2010 en el laboratorio de Proterm, cuyos resultados se presentan en el informe de resultados de concentración de olores “Plantel porcino San Agustín del Arbolito” (Inf01E01-O-20-067).

Es importante señalar que las emisiones de olor fueron calculadas a partir del siguiente procedimiento:

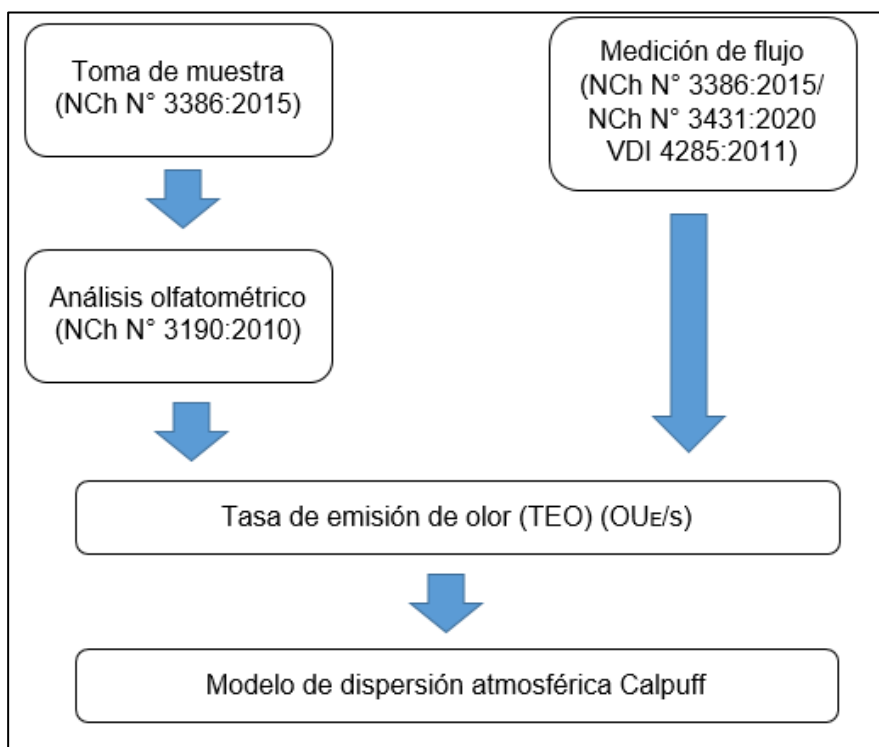


Figura Nº 3. Diagrama metodología de caracterización de olor.

4.3 Evaluación de la dispersión de las emisiones de olor.

Para evaluar la dispersión atmosférica de las emisiones de olor generadas por las fuentes, se realizaron las siguientes actividades.

4.3.1 Selección del modelo

Para seleccionar el modelo se consideraron los lineamientos que establece la Guía para el uso de modelos de calidad del aire en el SEIA, publicada por el Servicio de Evaluación Ambiental el año 2012.

Se consideró un modelo tipo Puff, el cual es una combinación entre los modelos Gaussiano y Lagrangiano, en el sentido que esencialmente calculan la dispersión de gases provenientes de una emisión instantánea, llamada “Puff”, a lo largo de una trayectoria. Su aproximación matemática consiste en estimar la dispersión en forma Gaussiana en cada punto de una trayectoria. Es decir, a diferencia de los modelos Lagrangianos que necesitan el cálculo de un gran número de trayectorias para una fuente, los modelos tipo “Puff” sólo requieren una trayectoria por “Puff”, lo que hace su cálculo mucho más rápido³.

Para la modelación se utilizó el software Calpuff versión 7.2.1 junto a los módulos CALPOST 7.1.0. y CALRANK 7.0.0. Además, para efectos de la interacción gráfica de los módulos, se usó el software interactivo CALPUFF View 8.5.0.

En el Anexo N°1 se presenta el esquema del modelo utilizado y los elementos de la modelación.

4.3.2 Recopilación de los antecedentes para la modelación

Para conocer la dispersión que tendrán los gases en un área determinada es preciso incorporar en el modelo seleccionando distintos parámetros de manera que la simulación sea lo más parecida a las condiciones reales. Las variables o entradas que requirió el modelo se detallan a continuación.

Tabla N° 3. Variables de entrada consideradas en la modelación

Variable	Parámetros	Fuente
Meteorológicas	Dirección de Viento	Tal como lo establece la guía, el modelo numérico recomendado para la generación de datos meteorológicos es el Weather Research and Forecasting Model (WRF). WRF es uno de los modelos meteorológicos de pronóstico más avanzados y completos que es mantenido por NCAR/NOAA de Estados Unidos.
	Velocidad de Viento	
	Temperatura	
	Presión	
	Precipitación	
Geofísicas	Elevación del Terreno	
	Uso de Suelo	
Características de la fuente	Descripción del proceso	Información de fuentes consideradas en el escenario evaluado.
	Emisiones de olor	

³ Guía para el uso de modelos de calidad del aire, 2012

Variable	Parámetros	Fuente
	Periodo de operación	
	Temperatura de los gases	
	Ubicación de las fuentes	
	Velocidad de salida de los gases	
Receptores Discretos	Coordenadas de los receptores	Se definieron los poblados cercanos al plantel, y los ubicados en el interior de la superficie del área de influencia. Cabe destacar que los receptores fueron proporcionados por personal del plantel.

Para efectos del modelo se utilizan las emisiones históricas del plantel. En la siguiente tabla se presenta en mayor detalle de donde se obtuvieron las emisiones para los meses de octubre y noviembre:

Tabla N° 4. Informes de referencia de mediciones históricas.

Código informe	Descripción	Fecha de muestreo
Inf02E01.O-20-051	Estudio de Impacto Odorante "Plantel porcino San Agustín del Arbolito"	28 y 29 de Octubre
Inf02E02.O-20-060	Estudio de Impacto Odorante "Plantel porcino San Agustín del Arbolito"	25 y 26 de Noviembre

4.3.3 Variables meteorológicas y geofísicas

Tal como se mencionó en el punto 4.3.2, se utilizó la meteorología de pronóstico WRF en formato calmet.dat, de esta forma se incorporó el archivo directamente al programa. El archivo meteorológico tiene su centro en la comuna de San Javier. Para la ejecución del modelo se modeló una zona más pequeña en comparación al WRF, es importante destacar que la zona modelada tiene una dimensión de grilla de 250 metros (19 x 20 km). En la Tabla N°4 se presentan las características del archivo meteorológico.

Tabla N° 5. Características del archivo meteorológico WRF.

Datos		Archivo Meteorológico
Comuna Central		San Javier
Dimensión grilla		78 x 63 km
Espaciado grilla		1 km
Fecha-Hora inicio		01-01-2019 00:00
Fecha-Hora fin		31-12-2019 23:00
Coordenadas NO ⁴	Este	740.366
	Norte	6.007.593

⁴ Coordenadas WGS-84 Huso 18

Datos		Archivo Meteorológico
Coordenadas NE ⁵	Este	278.206
	Norte	6.008.176
Coordenadas SO ⁶	Este	276.266
	Norte	6.071.177
Coordenadas SE ⁷	Este	742.288
	Norte	6.070.602

4.3.4 Evaluación de los resultados

Los resultados de la concentración de olor (OU_E/m^3), modelados y registrados fueron comparados con los límites de inmisión establecidos en la RCA N°225/2019, la que establece el valor de inmisión de $3 \text{ OU}_E/\text{m}^3$ y factor de frecuencia de percentil 98.

El límite mencionado anteriormente fue evaluado en receptores sensibles al olor. De acuerdo con lo establecido en la Guía para la predicción y evaluación de impacto por olor en el SEIA, donde se señala que *“La evaluación de los impactos ambientales por olor debe realizarse según las consideraciones y criterios establecidos en los artículos 5 al 9 del Reglamento del SEIA, según lo siguiente”*:

- Población en cuanto a la salud de la población (letra a).
- Grupos humanos, en cuanto a los sistemas de vida y costumbres (letra c).
- Población protegida (letra d).
- Visitantes o turistas, en cuanto componente el valor turístico de una zona (letra e).

En consecuencia, se indicarán los resultados sobre los sectores identificados bajo los puntos anteriores.

Junto a los resultados de concentración de olor, se identificará el área de influencia de la operación del plantel. Tal como lo indica la guía, el área de Influencia se debe circunscribir en el espacio contenido por la isodora de $1 \text{ OU}_E/\text{m}^3$, que corresponde al umbral de detección del olor compuesto.

Los resultados de las concentraciones de olores (OU_E/m^3) modeladas y registradas serán comparados con el límite de inmisión establecido en la RCA N°225/2019, donde se indica un límite de $3 \text{ OU}_E/\text{m}^3$ y factor de frecuencia el percentil 98.

⁵ Coordenadas WGS-84 Huso 19

⁶ Coordenadas WGS-84 Huso 19

⁷ Coordenadas WGS-84 Huso 18

4.3.5 Área de Influencia y receptores de interés.

Una vez ejecutado el modelo de dispersión de olor, se realizó el análisis de post-proceso obteniendo las curvas iso-concentración de la dispersión anual. Tal como lo indica la guía el Área de Influencia se debe circunscribir en el espacio contenido por la isodora de $1 \text{ OU}_E/\text{m}^3$, que corresponde al umbral de detección del olor compuesto.

Una vez determinado el área de influencia, se realizó una descripción general y significativa del Área de Influencia, para cada elemento del medio ambiente considerando los efectos, características o circunstancias establecidos en el artículo 11 de la Ley N°19.300 como población, población protegida, grupos humanos y visitantes o turistas.

De acuerdo con lo establecido en la Guía para la predicción y evaluación de impacto por olor en el SEIA, donde se señala que *“La evaluación de los impactos ambientales por olor deben realizarse según las consideraciones y criterios establecidos en los artículos 5 al 9 del Reglamento del SEIA, según lo siguiente”*:

- *Población en cuanto a la salud de la población (letra a).*
- *Grupos humanos, en cuanto a los sistemas de vida y costumbres (letra c).*
- *Población protegida (letra d).*
- *Visitantes o turistas, en cuanto componente el valor turístico de una zona (letra e).*

4.4 Evaluación del desempeño del archivo de pronóstico utilizado

El modelo numérico recomendado para la generación de datos meteorológicos es el Weather Research and Forecasting Model (WRF). WRF es uno de los modelos meteorológicos de pronóstico más avanzados y completos, el cual es mantenido por NCAR/NOAA de Estados Unidos.

Todos los modelos tienen asociados errores e incertidumbre. Los resultados del modelo se analizan con base a la comparación de los gráficos indicados en los puntos 6.6.3 y 6.7 de la “Guía para uso de modelos de Calidad del aire en el SEIA”. Con base a la comparación de los ciclos diarios de las variables meteorológicas observadas y simuladas, en la misma, ubicación, se debe caracterizar la capacidad del modelo de reproducir las observaciones tanto en magnitud como en su variabilidad.

Para cumplir con lo indicado por la guía para uso de modelos de dispersión del SEA, se realizó un análisis del desempeño de la meteorología de pronóstico WRF utilizada para la modelación. Este análisis permite detectar posibles desviaciones en el modelo de pronóstico que podrían causar efectos en los resultados del modelo de dispersión. Para este informe se contrastaron las variables de viento respecto a los registros de las estaciones públicas Campanadura y Linares desde el sistema Agromet y SINCA, respectivamente.

5 Resultados

A continuación, se presentan los resultados que permitieron evaluar el efecto de las emisiones de olor del plantel de cerdos San Agustín del Arbolito.

5.1 Caracterización de las fuentes de emisión

A continuación, se describen las fuentes generadoras de olor de las instalaciones actuales del plantel de cerdos San Agustín del Arbolito. En la siguiente tabla se detallan las fuentes consideradas en la modelación, mientras que en la cartografía se presenta su ubicación espacial. Lo anterior de acuerdo con lo señalado en el punto 3.3 de guía para la predicción y evaluación de olores.⁸

Tabla Nº 6. Descripción fuentes generadoras de olor actuales del plantel de Cerdos – San Agustín del Arbolito.

Fuentes	Descripción
Pabellones Recría - Finalización	Los cerdos destetados son ingresados a jaulas de crías hasta que alcanzan la etapa de finalización. La ventilación en los pabellones se realiza mediante la acción de extractores con la evacuación de los gases mediante chimenea de 14 metros, de esta manera, otorgando los requerimientos de temperatura de confort para los cerdos. El pabellón posee doce extractores para realizar la extracción.
Zona de Transferencia	Una vez alcanzada una edad de 180 días y un peso entre 95 a 135 kg, los cerdos son trasladados a la zona de transferencia para luego ser retirados hacia una planta faenadora. En el día se reciben 360 cerdos, para ser retirados dos veces al día.
Zona de aplicación de riego de efluente tratado	La parte líquida del digestato es acumulada en una laguna cubierta herméticamente que posteriormente es utilizada para regar plantaciones de pinos en 150 ha. El riego se realiza, entre septiembre y abril, mediante un sistema presurizado con microaspersores, mientras que de mayo a agosto, en la laguna de acumulación (cubierta herméticamente), se acumula el digestato líquido. Es importante señalar que la laguna tiene una capacidad aproximada de 55.493 m ³ a coronamiento y una superficie de 15.740 m ² .

Tabla Nº 7. Coordenadas de referencia de los sectores modelados.

Ubicación de las fuentes	Coordenada UTM Huso 18S Datum WGS84	
	Este (m)	Norte (m)
Pabellones recría-finalización actual	769.844	6.038.469
Zona de Transferencia	770.188	6.038.856
Zona de aplicación de riego de efluente tratado actual	768.983	6.037.201

⁸ La información asociada a la descripción del proyecto fue entregada por Coexca S.A.

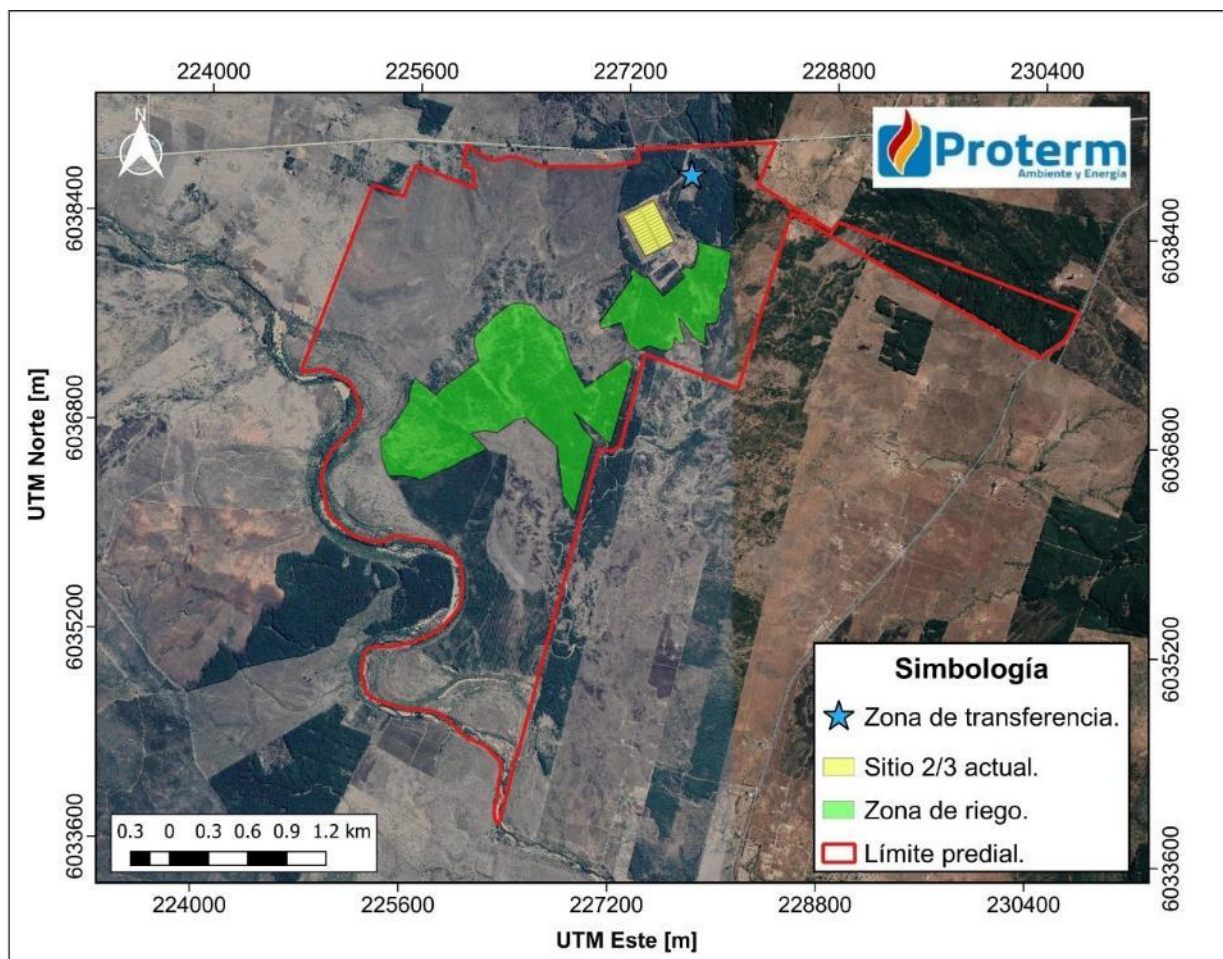


Figura Nº 4. Fuentes consideradas para modelación.

5.2 Emisiones de olor

5.2.1 Emisiones muestreadas plantel de cerdos San Agustín del Arbolito: Campaña Diciembre

El 28 y 29 de diciembre de 2020, y 18 y 19 de Enero de 2021, se realizó un muestreo en los pabellones N°1, N°10, N°15 y N°21, los que presentaban tecnología tipo túnel en el plantel de cerdos San Agustín del Arbolito; lo anterior se realizó bajo la NCh N° 3386:2015 por personal de Proterm S.A y posteriormente fueron analizadas mediante la técnica de olfatometría dinámica según la NCh N°3190:2010 en el laboratorio de Proterm S.A.

En la siguiente tabla, se presentan las concentraciones que fueron entregadas en el Inf01E01.O-20-67:

Tabla N° 8. Concentración de olor pabellones con tecnología tipo túnel.⁹

Fuente	Fecha	Tipo Fuente	N° Cerdos Pabellón	Edad días	Ventilación	Concentración en la fuente (OUe/m ³)	Nota de olor
Pabellón N°1	18-01-2020	Puntual	1.743	52	98% capacidad	685	Cerdo, purín
Pabellón N°10	29-12-2020	Puntual	1.516	152	100% capacidad	474	Cerdo, purín
Pabellón N°15	29-12-2020	Puntual	1.713	86	100% capacidad	813	Cerdo, purín
Pabellón N°21	29-12-2020	Puntual	1.740	50,9	27% capacidad	646	Cerdo, purín

⁹ Datos de N° de cerdos, edad y ventilación son informados por el cliente.

Dado que la cantidad de extractores funcionando en los pabellones varía según la hora del día, el titular entregó sus registros de requerimiento de ventilación de los días medidos, determinándose en base a estos valores la tasa de emisión del plantel:¹⁰

Tabla Nº 9. Emisiones de pabellones recría-finalización.

Hora	Caudal (% de la capacidad nominal) ¹¹				Caudal (m³/h)				Emisión ¹² (OU _E /s)			
	Pab. Nº1	Pab. Nº10	Pab. Nº15	Pab. Nº21	Pab. Nº2	Pab. Nº10	Pab. Nº15	Pab. Nº21	Pab. Nº2	Pab. Nº10	Pab. Nº15	Pab. Nº21
0	37	59	22	1	124830	201780	73530	3420	23752	26568	16606	614
1	29	49	14	1	97470	168435	48735	3420	18546	22177	11006	614
2	17	44	12	1	56430	150480	39330	3420	10737	19813	8882	614
3	3	42	10	1	11115	143640	35055	3420	2115	18913	7917	614
4	6	38	8	1	20520	130815	28215	3420	3905	17224	6372	614
5	3	35	7	1	11115	117990	23085	3420	2115	15535	5213	614
6	4	31	5	1	13680	106020	17955	3420	2603	13959	4055	614
7	3	38	10	1	10260	129960	33345	3420	1952	17111	7530	614
8	7	64	21	1	22230	219735	71820	3420	4230	28932	16219	614
9	27	82	41	1	91485	280440	138510	3420	17408	36925	31280	614
10	53	99	56	1	182115	338580	191520	3420	34652	44580	43252	614
11	69	100	78	3	234270	342000	265905	10260	44576	45030	60050	1841
12	82	100	99	11	279585	342000	338580	38475	53199	45030	76463	6904
13	97	100	100	20	330885	342000	342000	68400	62960	45030	77235	12274
14	100	100	100	25	342000	342000	342000	84645	65075	45030	77235	15189
15	100	100	100	27	342000	342000	342000	92340	65075	45030	77235	16570
16	100	100	100	27	342000	342000	342000	92340	65075	45030	77235	16570
17	100	100	100	26	342000	342000	342000	87210	65075	45030	77235	15649
18	100	100	89	13	342000	342000	303525	44460	65075	45030	68546	7978
19	100	89	49	1	342000	304380	165870	3420	65075	40077	37459	614
20	90	66	33	1	306945	224865	113715	3420	58405	29607	25681	614
21	65	58	29	1	222300	197505	99180	3420	42299	26005	22398	614
22	53	51	21	1	182115	174420	70110	3420	34652	22965	15833	614
23	43	42	14	1	147915	142785	47025	3420	28145	18800	10620	614

Por otro lado, en las siguientes tablas se presentan las emisiones consideradas en la zona de aplicación de riego de efluente tratado, cuya concentración de olor se obtuvo del muestreo realizado el 19 de enero del 2021:

¹⁰ La información de flujo de los pabellones fue entregada por Coexca S.A.

¹¹ El Caudal de diseño de los 12 extractores equivale a 342.000 m³/h. Los datos del “% de capacidad de ventilación” corresponden al promedio de los datos informados por el titular.

¹² Emisión (OU_E/s) = Concentración (OU_E/m³) x Caudal (m³/h) / 3600

Tabla Nº 10. Emisión de olor zona de aplicación de riego efluente tratado.

Fuente	Fecha	Tipo Fuente	Conc. (OU _E /m ³)	Área emisión (m ²)	Emisión (OU _E /s/m ²)	Emisión (OU _E /s)
Zona de aplicación de riego efluente tratado	19-01-2021	Difusa Pasiva Área	1.124	50.000	9,36	468.179

Finalmente se señala la emisión medida en la zona de transferencia, muestreada el 28 de diciembre.

Tabla Nº 11. Emisión de zona de transferencia.¹³

Fuente	Fecha	Concentración (OU _E /m ³)	Velocidad promedio (m/s)	Diámetro Extractores (m)	Nº de Extractores	Caudal (m ³ /s)	Emisión total (OU _E /s)
Zona de Transferencia	28-12-2021	247	10,67	0,57	9	24,54	6.053

5.2.2 Emisiones actuales plantel de cerdos San Agustín del Arbolito

A continuación, se presenta la emisión promedio de diciembre del plantel San Agustín del Arbolito:

Tabla Nº 12. Emisión de olor actual plantel de cerdos San Agustín del Arbolito.

Fuente	Emisión promedio (OU _E /s)	Cantidad	Emisión total (OU _E /s)
Pabellones de recría finalización	26.672 ¹⁴	24	640.121
Zona de transferencia	6.053	1	6.053
Zona de aplicación de riego de efluente tratado	468.179	-	468.179

En la siguiente figura, se presenta la distribución porcentual de las emisiones de olor del plantel de cerdos.

¹³ Al momento del muestreo habían 200 cerdos de 155 días.

¹⁴ Emisión promedio de la tabla 11

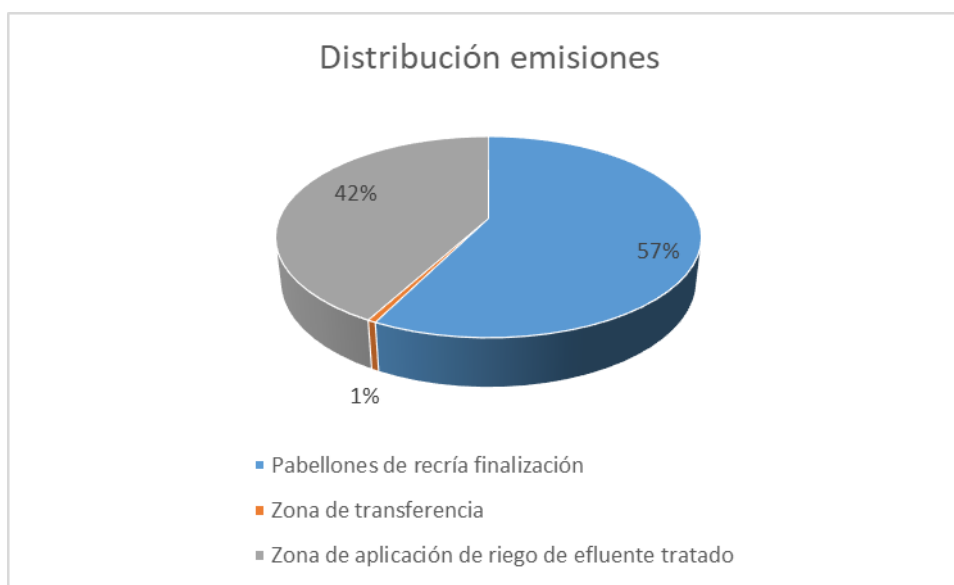


Figura Nº 5. Fuentes consideradas en el estudio.

De la figura se puede observar que el 57% de las emisiones de olor corresponden a los pabellones, mientras que el 42% es producido por la aplicación de riego de efluente tratado y finalmente, el 0,5% de las emisiones de olor corresponden a la zona de transferencia.

5.2.3 Características fuentes de emisión ingresadas al modelo¹⁵

Pabellones recría-finalización

La emisión de los pabellones se considera a través de chimeneas en cada pabellón con altura de evacuación a 14 metros. Se consideran las siguientes características.

Tabla Nº 13. Chimeneas pabellones sitio actual.

Característica	Valor
Altura	14 m
Sección ¹⁶	2 x 3 m
Velocidad promedio ¹⁷	9,14 m/s
Temperatura	20°C
Operación	Todo el año

Se considera 1 pabellón vacío de los 24, el cual se encuentra en limpieza.

¹⁵ Información entregada por Coexca S.A.

¹⁶ Para el modelo Calpuff se usa una sección de diámetro equivalente de 2,76 m.

¹⁷ Velocidad calculada de acuerdo con los caudales proporcionados por el proveedor.

A continuación, se presentan las tablas de emisión determinada en la campaña históricas de octubre y noviembre, las que se agregan al modelo junto con las emisiones determinadas en la campaña de diciembre.

Tabla Nº 14. Tasa de emisión diaria medidas en Octubre y Noviembre.

Hora	Emisión (OU _E /s)						
	Octubre ¹⁸				Noviembre ¹⁹		
	Pabellón Nº2 129 días ²⁰	Pabellón Nº5 164 días	Pabellón Nº10 91 días	Pabellón Nº15 25 días	Pabellón Nº2 157 días	Pabellón Nº10 119 días	Pabellón Nº15 54 días
0	13600	7808	2174	2830	23195	18911	1110
1	11949	6140	1891	1808	21982	17922	1110
2	9669	5206	1891	1494	19198	15652	1110
3	7861	4605	1891	1258	17914	14605	1110
4	7311	3737	1891	1612	16558	13500	1110
5	6603	3203	1891	1690	14987	12219	1110
6	6682	3203	1891	1572	14202	11579	1110
7	7547	3897	1891	1926	16415	13383	1110
8	12381	6106	1891	1847	22909	18678	1110
9	14622	8376	2552	1965	32544	26534	1110
10	17177	11078	1891	3066	44677	36425	1179
11	20479	14782	2647	4284	55239	45037	5201
12	24291	17819	8176	4953	57095	46550	11373
13	27267	20622	14699	6997	57095	46550	16020
14	30636	24359	21221	9827	57095	46550	20112
15	31327	26194	26231	11399	57095	46550	22053
16	31445	26466	28830	12039	57095	46550	23094
17	31327	26085	28263	11870	57095	46550	23440
18	30423	24860	27129	10888	57095	46550	22955
19	28025	22791	20796	6210	57095	46550	20944
20	23898	18052	13281	4638	57095	46550	15534
21	19260	14315	9263	3380	54312	44281	9778
22	17609	14072	7278	3380	43464	35436	5340
23	14779	12513	5199	2830	31616	25777	2497

Por otro lado, dado que no se cuentan con registros del año completo, para representar las emisiones, en el modelo de dispersión atmosférica se ingresan los siguientes factores estacionales de acuerdo a tablas de caudal de diseño que fueron proporcionados por el

¹⁸ Emisiones históricas. Informe Inf02E01.O-20-51 e Inf02E02.O-20-60.

¹⁹ El pabellón Nº5 no contenía cerdos en su interior al momento de la medición

²⁰ Edad cerdos.

proveedor. Para el resto del año se calculó un promedio de los valores medidos en Octubre y Noviembre y se aplicó el factor indicado en la tabla 15.

Tabla Nº 15. Factores estacionales estimados con datos del proveedor. ²¹

Estación del año	Factores		
	Cerdos 5-30 kg	Cerdos 30-55 kg	Cerdos 55-130 kg
Verano	1,06	1,14	1,13
Otoño	0,83	0,82	0,80
Invierno	0,83	0,78	0,74
Primavera	1,00	1,00	1,00

Aplicación de riego de efluente tratado

Se contempla regar entre los meses de septiembre a abril, en horario diurno entre 8:30 a 17:30 hrs. El proceso de riego abarca 5 ha diarias las que se van regando día a día hasta alcanzar las 150 has disponibles. El sector de riego cambia día a día en el modelo.

De acuerdo al informe Inf02E01.O-20-51, la tasa de emisión determinada en el mes de marzo fue de 2,39 OU_E/s/m², mientras que en noviembre fue de 10,75 OU_E/s/m² y diciembre de 9,36 OU_E/s/m². Para el resto del año se utiliza un valor promedio.

Zona de transferencia

Se considera una emisión anual, de lunes a viernes entre 9:00 a 15:00 hrs.

De acuerdo al informe Inf02E01.O-20-51, la tasa de emisión determinada en el mes de julio fue de 1.227 OU_E/s, mientras que en noviembre se determinó un valor de 2.529 OU_E/s y diciembre de 6.053 OU_E/s. Para el resto del año se utiliza un valor promedio.

²¹ Estos factores, son calculados de acuerdo a los flujos promedios informados por el proveedor del sistema túnel. Datos entregados por el titular

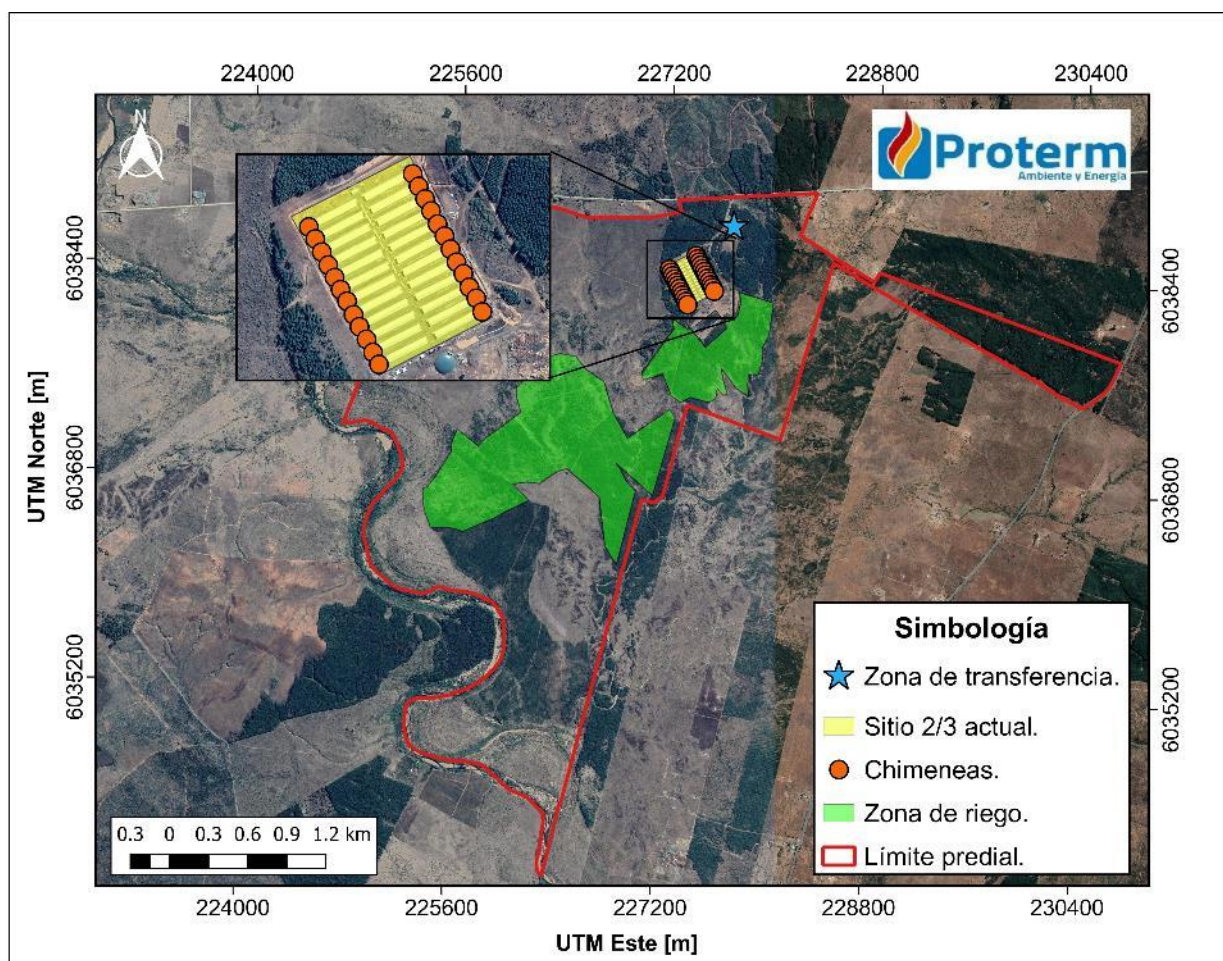


Figura Nº 6. Fuentes de emisión modeladas sitio actual.

5.3 Evaluación de la dispersión de olores del plantel de cerdos

En el presente apartado se presentan los resultados de la dispersión de las emisiones de olores generadas en el plantel de cerdos San Agustín del Arbolito, según las fuentes mencionadas en el punto 5.1 del presente estudio. Los resultados muestran la pluma de dispersión de los olores en torno al plantel, las cuales, además de simular la dispersión de los gases, entregan las concentraciones de olor (OU_E/m^3) en el espacio.

Se presenta una cartografía de dispersión de olor, la que registra el percentil 98 de las concentraciones horarias, con el objetivo de poder comparar los resultados con el límite de 3 OU_E/m^3 establecidas en la RCA N°225/2019.

A continuación, se presentan los resultados de la evaluación del modelo de dispersión de las fuentes del plantel de cerdos.

5.3.1 Resultados emisión de olor del plantel

5.3.1.1 Dispersión de emisiones

El límite de referencia indicado en la RCA N°225/2019 establece un valor de 3 OU_E/m^3 para periodos horarios con percentil 98.

Tal como se puede apreciar en la siguiente cartografía, la distribución de la pluma se acentúa hacia el noreste y suroeste con una longitud aproximada de 6,27 km. Las isodoras pueden alcanzar valores entre 1,0 a 15,0 OU_E/m^3 alcanzando su mayor concentración entre la zona de riego. Fuera de los límites del plantel las isodoras trazan valores entre 1,0 a 5,0 OU_E/m^3 . Se observa que la isodora de 3 OU_E/m^3 no circunscribe ningún receptor sensible.

La isodora de 3 OU_E/m^3 alcanza una superficie aproximada de 1,88 km^2 alrededor de los pabellones y en la zona de aplicación de riego de efluente tratado, con una superficie aproximada de 1,42 km^2 .

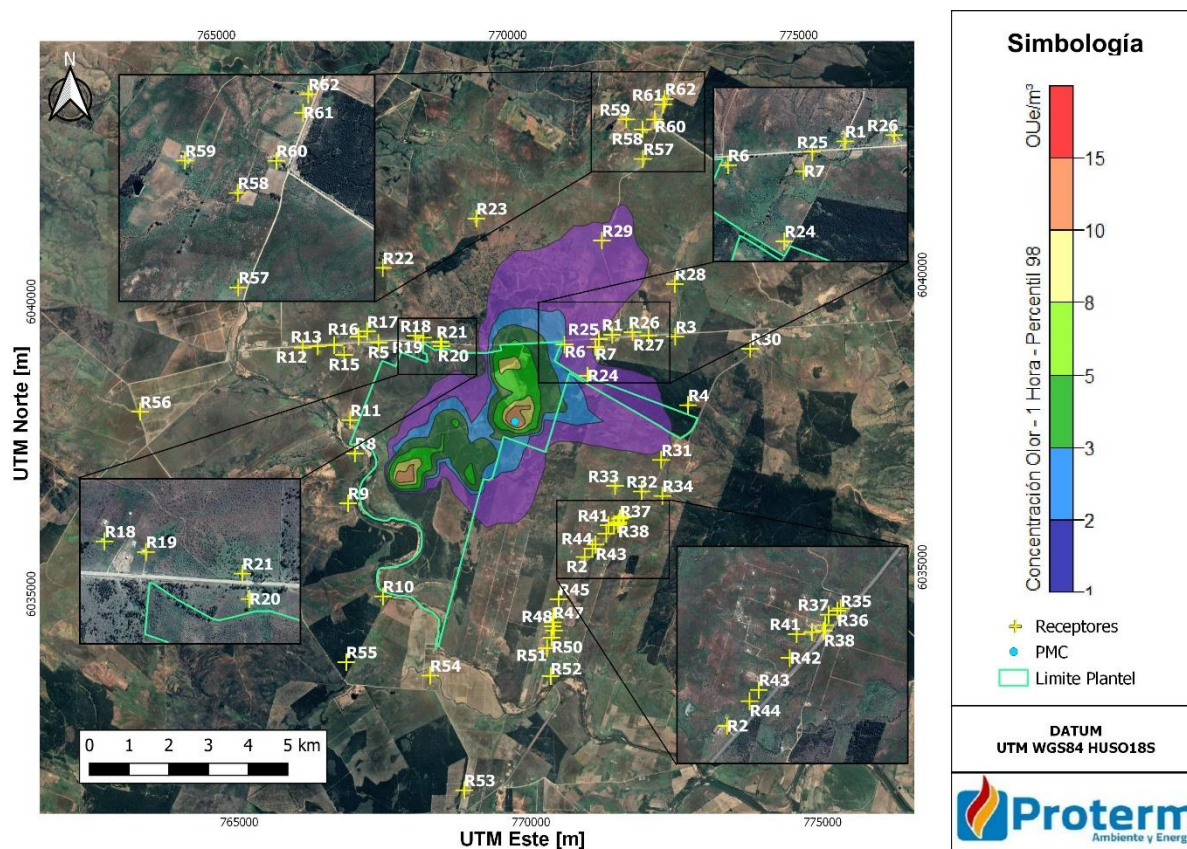


Figura Nº 7. Mapa de concentración de olor generado por las fuentes de emisión del plantel de cerdos. Promedio horario (percentil 98).

Con base en la dispersión de emisiones del escenario evaluado, se determinó un área de influencia definida según la “Guía para la predicción y evaluación de impactos por olor en el SEIA”²², como el espacio contenido por la isodora de 1 OU_E/m³, que corresponde al umbral de detección del olor compuesto. En la siguiente figura se presenta el área de influencia determinada.

²² Publicada el 2017 por el Servicio de Evaluación Ambiental.

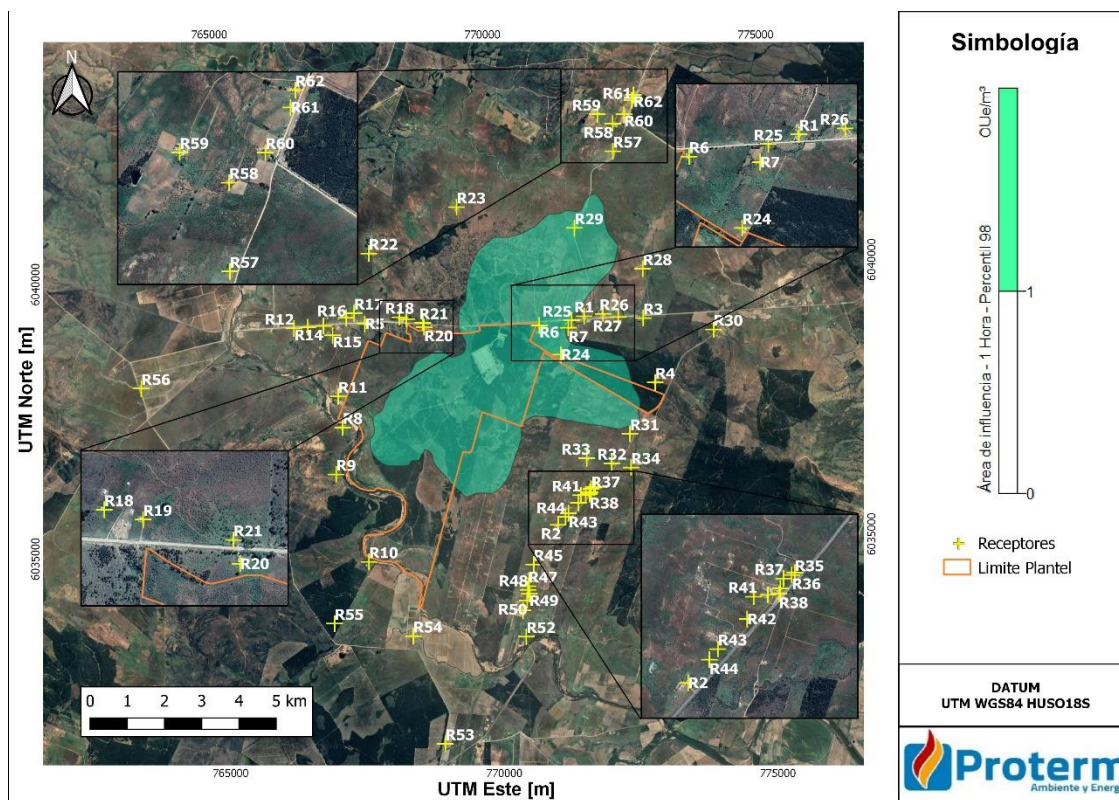


Figura Nº 8. Área de Influencia del plantel de cerdos.

La isodora de $1 \text{ OU}_E/\text{m}^3$, valor que indica la concentración desde el cual el 50% de la población puede percibir un olor cubre una superficie de $13,5 \text{ km}^2$. La distribución de la pluma se acentúa en sentido noreste y suroeste con una longitud aproximada de $6,27 \text{ km}$.

Como se mencionó anteriormente, el área de influencia, determinada por la curva de isoconcentración de $1 \text{ OU}_E/\text{m}^3$, se circunscribe hacia el noreste de los pabellones principalmente y la zona de aplicación de riego de efluente tratado, cubriendo un área rural y/o forestal. El área de influencia circunscribe a tres receptores (R6, R24, R29).

La máxima concentración se produce al interior del predio, específicamente en la zona de riego alcanzando un valor $15,3 \text{ OU}_E/\text{m}^3$.

Tabla Nº 16. Máxima concentración del plantel de cerdos.

Descripción	UTM 18H – WGS84		Concentración de inmisión (OU_E/m^3)
	Este (m)	Norte (m)	
Predio Agrícola San Agustín del Arbolito	769.991	6.037.758	15,3

5.3.1.2 Receptores discretos considerados en la modelación

De acuerdo con el estudio de medio humano realizado por el consultor, se identificaron los siguientes receptores potencialmente sensibles al olor.

Tabla Nº 17. Receptores identificados en la caracterización de receptores.

Nº	Descripción	Proyección UTM Huso 18S Datum WGS84		Distancia a la fuente más cercana (km)	Fuente más cercana
		Este (m)	Norte (m)		
R1	Vivienda Habitacional	229.183	6.039.218	1,5	Zona de Transferencia
R2	Habitacional, actividades agropecuarias, infraestructura productiva.	228.825	6.035.404	2,1	Zona de aplicación efluente tratado
R3	Habitacional	230.265	6.039.218	2,5	Zona de aplicación efluente tratado
R4	Habitacional, infraestructura agropecuaria y venta de carbón de pino.	230.520	6.038.054	2,6	Zona de aplicación efluente tratado
R5	Habitacional	225.173	6.038.957	1,6	Zona de aplicación efluente tratado
R6	Habitacional	228.367	6.039.026	0,7	Zona de Transferencia
R7	Infraestructura productiva (galpón)	228.899	6.039.001	1,2	Zona de Transferencia
R8	Habitacional, 2 viviendas e infraestructura productiva (corral).	224.828	6.037.055	0,6	Zona de aplicación efluente tratado
R9	Habitacional	224.736	6.036.197	0,7	Zona de aplicación efluente tratado
R10	Habitacional	225.385	6.034.624	1,8	Zona de aplicación efluente tratado
R11	Habitacional	224.730	6.037.620	0,9	Zona de aplicación efluente tratado
R12	Actividad agropecuaria e infraestructura productiva	223.880	6.038.835	2,3	Zona de aplicación efluente tratado
R13	Infraestructura productiva (galpón o establo)	224.135	6.038.863	2,2	Zona de aplicación efluente tratado
R14	Actividad pecuaria a pequeña escala	224.418	6.038.894	2,0	Zona de aplicación efluente tratado
R15	Habitacional, 8 viviendas en total, algunas con actividad pecuaria a pequeña escala	224.592	6.038.731	1,8	Zona de aplicación efluente tratado
R16	Sin moradores, aparentemente segunda vivienda	224.830	6.039.057	1,9	Zona de aplicación efluente tratado
R17	Sin moradores, aparentemente segunda vivienda	224.972	6.039.144	1,9	Zona de aplicación efluente tratado
R18	Sin moradores, aparentemente segunda vivienda	225.806	6.039.095	1,4	Zona de aplicación efluente tratado
R19	Sin moradores, aparentemente segunda vivienda	225.935	6.039.066	1,3	Zona de aplicación efluente tratado
R20	Sin moradores	226.259	6.038.931	0,9	Pabellones recría-finalización

Nº	Descripción	Proyección UTM Huso 18S Datum WGS84		Distancia a la fuente más cercana (km)	Fuente más cercana
		Este (m)	Norte (m)		
R21	Sin moradores	226.235	6.039.008	1,0	Pabellones recría- finalización
R22	No es visible desde camino público	225.207	6.040.240	2,5	Pabellones recría- finalización
R23	No es visible desde camino público	226.788	6.041.135	2,5	Zona de Transferencia
R24	Sin moradores, maquinaria agrícola	228.779	6.038.507	0,8	Zona de aplicación efluente tratado
R25	Galpón y animales	228.957	6.039.138	1,3	Zona de Transferencia
R26	Habitacional con actividad pecuaria a pequeña escala	229.529	6.039.273	1,9	Zona de aplicación efluente tratado
R27	Abandonada	229.808	6.039.224	2,1	Zona de aplicación efluente tratado
R28	Habitacional, cuidador de fundo de viña y crianza de ganado	230.229	6.040.117	2,8	Zona de Transferencia
R29	Habitacional, crianza de ganado	228.957	6.040.822	2,8	Zona de Transferencia
R30	Habitacional y almacén	231.560	6.039.049	3,7	Zona de aplicación efluente tratado
R31	Galpón de ovejas	230.088	6.037.103	2,3	Zona de aplicación efluente tratado
R32	Habitacional	229.770	6.036.554	2,2	Zona de aplicación efluente tratado
R33	Habitacional	229.310	6.036.633	1,7	Zona de aplicación efluente tratado
R34	Habitacional	230.126	6.036.490	2,5	Zona de aplicación efluente tratado
R35	Habitacional	229.477	6.036.117	2,4	Zona de aplicación efluente tratado
R36	Habitacional	229.457	6.036.102	2,2	Zona de aplicación efluente tratado
R37	Habitacional, crianza de gallinas	229.407	6.036.079	2,2	Zona de aplicación efluente tratado
R38	Almacén	229.381	6.035.982	2,2	Zona de aplicación efluente tratado
R39	Habitacional, 5 viviendas	229.389	6.036.017	2,2	Zona de aplicación efluente tratado
R40	Habitacional, 3 viviendas	229.312	6.035.973	2,3	Zona de aplicación efluente tratado
R41	Habitacional	229.222	6.035.959	2,2	Zona de aplicación efluente tratado
R42	Habitacional, apicultura y servicios de podología y costura	229.184	6.035.817	2,2	Zona de aplicación efluente tratado
R43	Habitacional	229.007	6.035.622	2,2	Zona de aplicación efluente tratado
R44	Habitacional	228.955	6.035.554	2,2	Zona de aplicación efluente tratado
R45	Habitacional, venta de carbón, miel y pequeña agricultura	228.399	6.034.668	2,2	Zona de aplicación efluente tratado
R46	Habitacional, 5 viviendas	228.324	6.034.366	2,4	Zona de aplicación efluente tratado

Nº	Descripción	Proyección UTM Huso 18S Datum WGS84		Distancia a la fuente más cercana (km)	Fuente más cercana
		Este (m)	Norte (m)		
R47	Parcelación "Doña Matilde"	228.314	6.034.270	2,4	Zona de aplicación efluente tratado
R48	Habitacional, 2 viviendas. Restaurant que ofrece venta de verduras y frutas	228.310	6.034.204	2,5	Zona de aplicación efluente tratado
R49	Habitacional, una deshabitada y otra nueva	228.337	6.034.132	2,6	Zona de aplicación efluente tratado
R50	Habitacional, 4 viviendas e infraestructura productiva	228.301	6.034.011	2,6	Zona de aplicación efluente tratado
R51	Habitacional, 2 viviendas. Parcela con producción de vino y venta de carbón	228.229	6.033.827	2,8	Zona de aplicación efluente tratado
R52	Habitacional, 11 viviendas e infraestructura productiva	228.304	6.033.352	3,2	Zona de aplicación efluente tratado
R53	Viña "Doña Aurora"	226.884	6.031.355	4,8	Zona de aplicación efluente tratado
R54	"Fundo con vivienda e infraestructura productiva.	226.238	6.033.296	3,0	Zona de aplicación efluente tratado
R55	Fundo con producción de uvas orgánicas para vino. Presencia actividad agropecuaria (burros)	224.791	6.033.481	3,0	Zona de aplicación efluente tratado
R56	Habitacional, 4 viviendas	221.122	6.037.650	4,3	Zona de aplicación efluente tratado
R57	Habitacional	229.618	6.042.242	3,9	Zona de Transferencia
R58	Infraestructura productiva	229.599	6.042.744	4,4	Zona de Transferencia
R59	Infraestructura productiva	229.313	6.042.908	4,4	Zona de Transferencia
R60	Habitacional	229.800	6.042.921	4,6	Zona de Transferencia
R61	Habitacional	229.936	6.043.181	4,9	Zona de Transferencia
R62	Infraestructura productiva	229.960	6.043.280	5,0	Zona de Transferencia

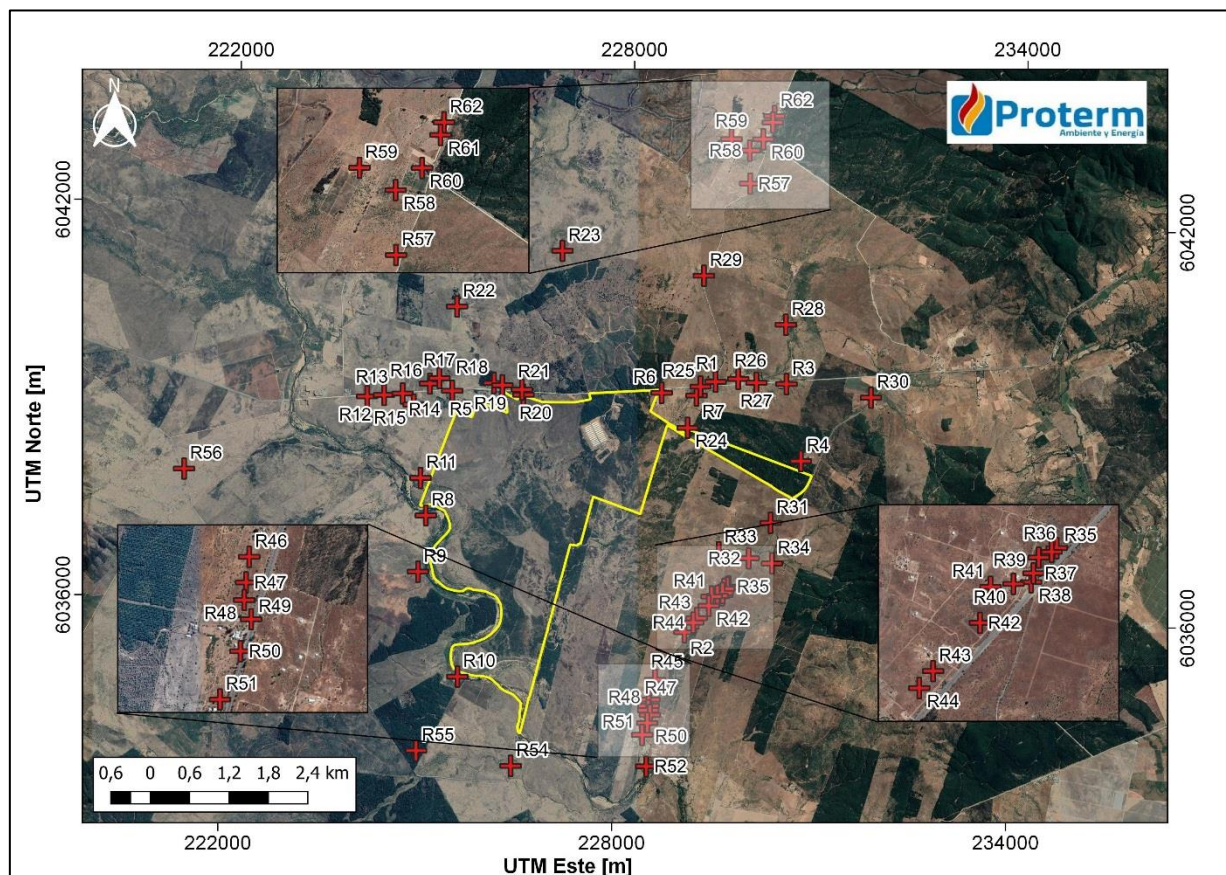


Figura Nº 9. Receptores de interés analizados.

En la siguiente tabla se presenta el resultado del Percentil 98 de las concentraciones horarias para cada receptor identificado.

Tal como se puede apreciar en la siguiente tabla, la operación actual del plantel de cerdos produce concentraciones de inmisión por debajo del límite establecido en la RCA N°225/2019 ($3 \text{ OU}_E/\text{m}^3$).

Tabla Nº 18. Concentración receptores. Percentil 98.

Nº	Concentración de inmisión (OU_E/m^3)	Horas al año $>3 \text{ OU}_E/\text{m}^3$	Nº	Concentración de inmisión (OU_E/m^3)	Horas al año $>3 \text{ OU}_E/\text{m}^3$
R1	0,82	23 (0,26%)	R32	0,52	20 (0,23%)
R2	0,34	2 (0,02%)	R33	0,58	15 (0,17%)
R3	0,54	18 (0,21%)	R34	0,51	15 (0,17%)
R4	0,90	43 (0,49%)	R35	0,37	11 (0,13%)
R5	0,13	2 (0,02%)	R36	0,37	9 (0,10%)
R6	1,97	88 (1,00%)	R37	0,36	7 (0,08%)
R7	0,93	30 (0,34%)	R38	0,35	5 (0,06%)
R8	0,10	2 (0,02%)	R39	0,35	6 (0,07%)

Nº	Concentración de inmisión (OU _E /m ³)	Horas al año >3 OU _E /m ³	Nº	Concentración de inmisión (OU _E /m ³)	Horas al año >3 OU _E /m ³
R9	0,08	(0,00%)	R40	0,36	2 (0,02%)
R10	0,13	1 (0,01%)	R41	0,38	3 (0,03%)
R11	0,10	1 (0,01%)	R42	0,38	1 (0,01%)
R12	0,04	0 (0,00%)	R43	0,33	4 (0,05%)
R13	0,05	0 (0,00%)	R44	0,34	4 (0,05%)
R14	0,06	0 (0,00%)	R45	0,36	0 (0,00%)
R15	0,07	0 (0,00%)	R46	0,40	0 (0,00%)
R16	0,09	0 (0,00%)	R47	0,40	0 (0,00%)
R17	0,09	1 (0,01%)	R48	0,40	1 (0,01%)
R18	0,31	8 (0,09%)	R49	0,39	0 (0,00%)
R19	0,38	9 (0,10%)	R50	0,36	1 (0,01%)
R20	0,57	11 (0,13%)	R51	0,37	0 (0,00%)
R21	0,53	11 (0,13%)	R52	0,32	0 (0,00%)
R22	0,10	0 (0,00%)	R53	0,26	0 (0,00%)
R23	0,43	3 (0,03%)	R54	0,28	0 (0,00%)
R24	1,56	86 (0,98%)	R55	0,08	0 (0,00%)
R25	0,94	26 (0,30%)	R56	0,02	0 (0,00%)
R26	0,65	11 (0,13%)	R57	0,84	7 (0,08%)
R27	0,54	19 (0,22%)	R58	0,74	2 (0,02%)
R28	0,64	11 (0,13%)	R59	0,67	1 (0,01%)
R29	1,17	4 (0,05%)	R60	0,74	6 (0,07%)
R30	0,53	16 (0,18%)	R61	0,72	4 (0,05%)
R31	0,88	42 (0,48%)	R62	0,71	4 (0,05%)

En el Anexo N°2 se presenta el análisis de la variación horaria del olor en los receptores cercanos que presentaron valores más altos de concentración.

5.3.1.3 Frecuencia de percepción de olor

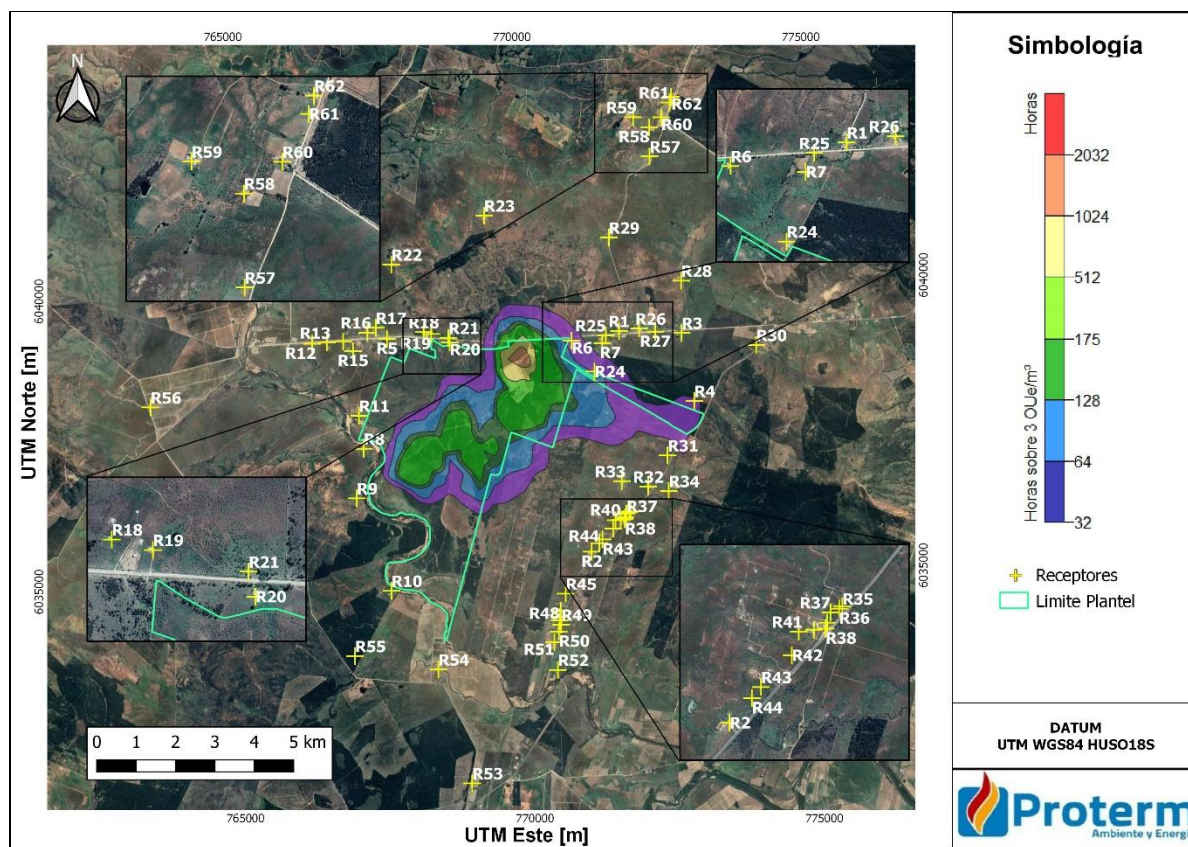


Figura Nº 10. Mapa de horas sobre 3 OUE/m³ generado por las fuentes de emisión del plantel de cerdos. Promedio horario (percentil 98).

En la figura anterior se puede observar las horas al año sobre las 3 OUE/m³. Dicha figura indica que los lugares sobre un 2% de frecuencia (175 horas), se encuentran superior a la excedencia entregada por el percentil 98 (en amarillo, naranja y rojo). Las zonas al interior de esta curva corresponden a sectores al interior del plantel (alrededor de los pabellones y de la zona de aplicación de purín tratado), territorio que no se encuentra habitado. Todas las viviendas cercanas (indicados por una cruz amarilla, receptores) se encuentran bajo las 88 horas sobre 3 OUE/m³, lo que indica que ninguna zona usada como residencia supera el 2% de horas por sobre el umbral de molestia.

5.3.1.4 Análisis FIDOL

Tabla Nº 19. Protocolo FIDOL con base a receptores definidos.

Parámetro	Con respecto a receptores discretos.
Frecuencia	El plantel opera durante todos los días del año. Durante el 98% de las horas del año no se prevé superación de las 3 OUE/m ³ . Los eventos de superación son puntuales sin observarse una frecuencia constante.
Intensidad	Ningún receptor se encuentra sobre las 3 unidades de olor (3 OUE/m ³) en el percentil 98. Este valor representa el umbral de molestia. Dado que los resultados en los receptores son menores a 3 OUE/m ³ se pueden concluir que los receptores más cercanos podrían sentir olor con una intensidad de percepción muy débil y en otras ocasiones casi imperceptible dado que algunos receptores se encuentran muy por debajo de 1 OUE/m ³ .
Duración	En cuanto a la duración, la superación de 3 OUE/m ³ ocurre en eventos puntuales en periodos no continuos durante el año. No obstante, las concentraciones no afectan a la población debido a que no superan el umbral de 3 OUE/m ³ bajo el percentil 98.
Ofensividad	A pesar que los olores del plantel presentan una intensidad que varía de claro e inconfundible a fuerte y un tono hedónico que varía de moderadamente desagradable a desagradable, los eventos sobre 3 OUE/m ³ son puntuales.
Localización	El territorio circunscrito al Área de Influencia presenta un uso principalmente de carácter rural por lo que se encuentra fuera del plan regulador de la comuna de San Javier. Los receptores dentro del área de influencia corresponden a viviendas habitadas con actividad ganadera de pequeña escala, y no presentan ningún tipo de vulnerabilidad.

5.4 Análisis del desempeño del archivo de pronóstico utilizado

La “Guía para el Uso de Modelos de Calidad de Aire en el SEIA en su capítulo 7” requiere que se realice una comparación de los registros WRF con información meteorológica local. Para ello se utilizan los datos disponibles de las estaciones de monitoreo ubicadas en la zona de interés para el estudio.

Las estaciones utilizadas corresponden a Campanacura y Linares del sistema Agromet y SINCA, a 19 km y 36 km del plantel respectivamente. Estas estaciones presentan datos de temperatura, dirección y velocidad de viento, las cuales serán utilizadas para validar el modelo meteorológico de pronóstico WRF, no siendo usadas como entradas al modelo.

En el Anexo N°3 se presentan las variables meteorológicas y geofísicas del emplazamiento del plantel y en el Anexo N°4 se presenta una comparación cualitativa y cuantitativa entre la meteorología de pronóstico y los datos observados en la estación meteorológica.

De acuerdo con las comparaciones realizadas en forma cualitativa de ciclo diario, promedio mensual rosa de los vientos y ciclos estacionales, para los parámetros temperatura, velocidad y dirección de viento para la estación de Campanacura y Linares se puede indicar que tanto el modelo WRF y los datos observados presentan valores y patrones similares, que permiten indicar que los datos WRF se ajustan a la realidad y pueden ser utilizados en la modelación.

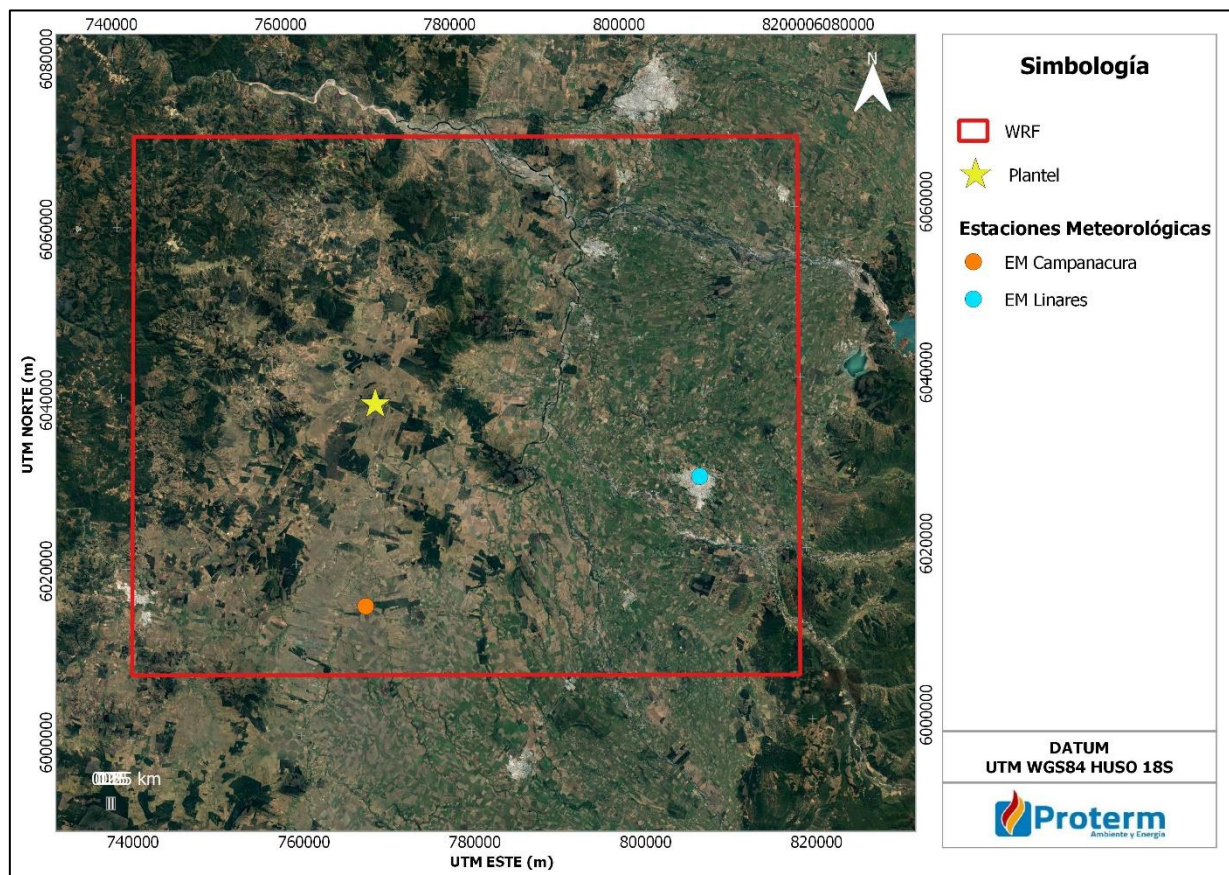


Figura Nº 11. Estación Meteorológica utilizada en el Análisis de Incertidumbre.

6 Conclusiones

Con respecto a la modelación de dispersión de olores del plantel de cerdos San Agustín del Arbolito, se concluye lo siguiente:

1. Las curvas de isoconcentración del percentil 98, indican que las concentraciones de olor producidas en los alrededores del plantel varían entre 1,0 y 15,3 OU_E/m^3 , presentándose la máxima concentración dentro del plantel, entre la zona de riego con un valor de 13,1 OU_E/m^3 . Fuera de los límites del predio las concentraciones alcanzan valores entre 1,0 y 5,0 OU_E/m^3 .
2. En el escenario evaluado no presenta superación del límite de 3 OU_E/m^3 (percentil 98) en ninguno de los receptores identificados. El receptor que presenta la concentración más alta (R6) fue identificado en una vivienda particular al noreste del plantel con una concentración de 1,97 OU_E/m^3 .
3. El área de influencia, descrita por la isodora de 1 OU_E/m^3 , se circunscribe en la zona de aplicación de efluente tratado y en los alrededores de los pabellones principalmente, cubriendo un área rural y/o forestal. El área de influencia cubre una superficie de 13,5 km^2 y presenta una longitud de 6,27 km en sentido noreste y suroeste.
4. Con base al modelo de dispersión de emisiones del plantel de cerdos, se puede indicar que no se presenta superación del límite de 3 OU_E/m^3 (percentil 98) en ningún receptor sensible.

En relación con la validación meteorológica del modelo de pronóstico WRF:

1. Se puede concluir a partir del análisis cualitativo y cuantitativo, que el modelo de pronóstico WRF presenta valores de dirección y velocidad de viento similares a los datos observados. Al analizar las velocidades promedio y direcciones frecuentes del viento, los valores modelados concuerdan con los datos observados. Por lo tanto, de acuerdo con lo presentado en el análisis cuantitativo y cualitativo de la estación Campanacura y Linares, el modelo WRF utilizado para el análisis de dispersión atmosférica es adecuado y concuerda con las condiciones de la realidad.

7 Anexos

7.1 Anexo N°1. Esquema de funcionamiento Calpuff y elementos de modelación

El presente Anexo contiene el archivo magnético el cual presenta la información que se utilizó para realizar la modelación atmosférica, dicha información corresponde a los input y output ingresados para la modelación de los módulos del modelo (CALPUFF, CALPOST y CALRANK) y el archivo Meteorológico WRF.

Por lo tanto, en el caso de que se requiera replicar la modelación realizada, esta se podrá hacer utilizando los archivos presentes en este Anexo.

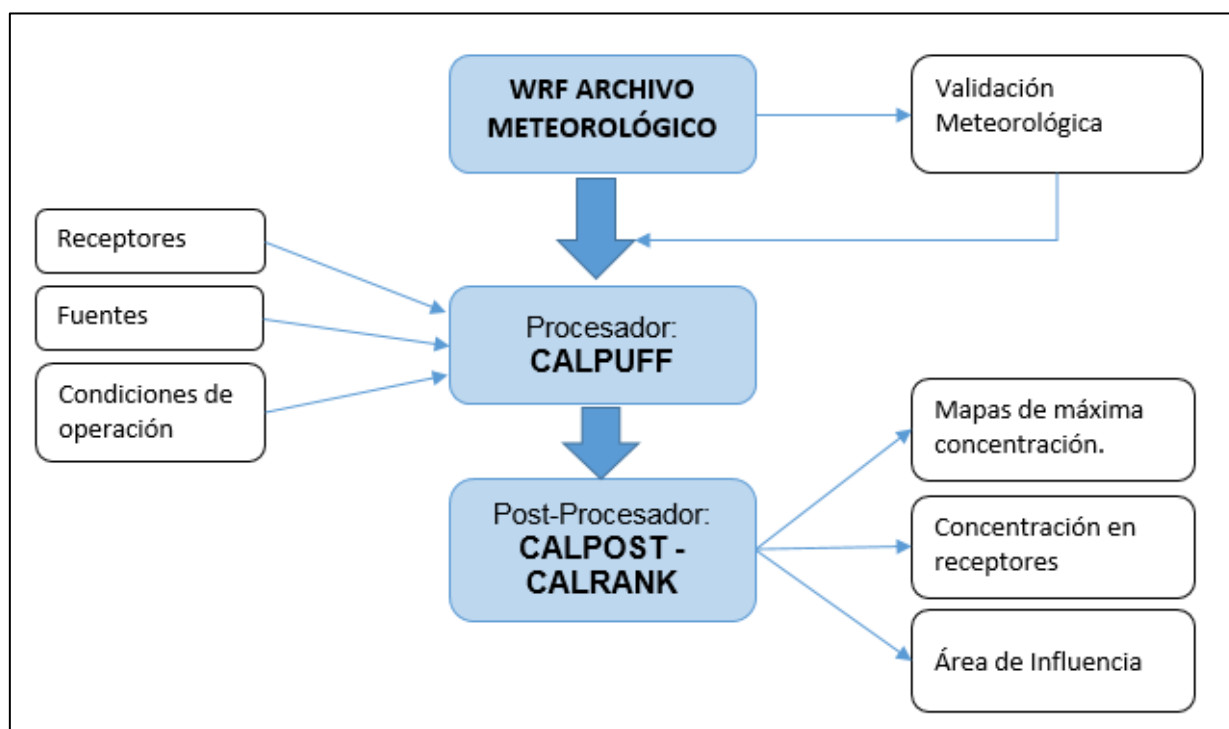


Figura N° 12. Esquema funcionamiento CALPUFF.

Estructuras y efecto downwash.

La dispersión de emisiones descargadas por chimeneas puede ser afectada por la presencia de edificios cercanos que representan obstáculos a la circulación del aire, como se muestra en la siguiente figura:

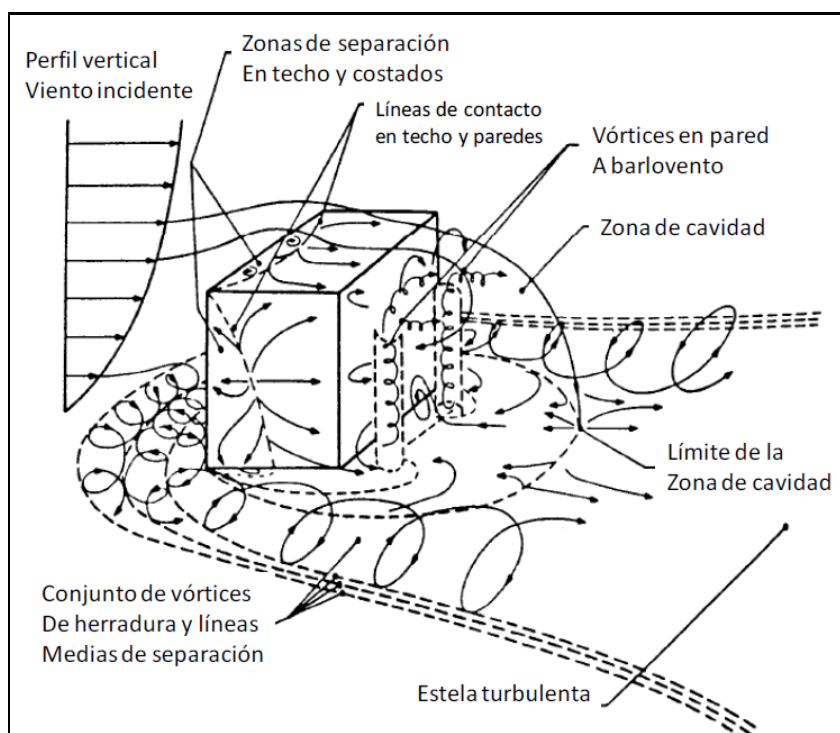


Figura Nº 13. Esquema efecto downwash.

Se aprecia una zona viento arriba, donde el viento es influenciado por la alta presión desarrollada en la pared del edificio que enfrenta el viento, una zona de cavidad con recirculación viento abajo, alta turbulencia y baja velocidad del viento, y una estela turbulenta, donde las propiedades del flujo y de la turbulencia se van aproximando continuamente a los valores ambientales de la circulación del viento lejos del edificio.

Los algoritmos de cálculo utilizados por CALPUFF provienen de la formulación original de ISC3, y se usan 36 sectores angulares para caracterizar las dimensiones que el viento 've' en cada edificio según la dirección que trae. El módulo BPIP (Building Profile Input Program) se utilizó para determinar esas dimensiones de manera automática.

En la siguiente figura (en azul) se presentan las edificaciones significativas del plantel de cerdos que fueron consideradas para evaluar su efecto sobre la dispersión de las emisiones de olor, mientras que en la tabla se adjuntan las alturas y dimensiones de las edificaciones.



Figura N° 14. Esquema de los pabellones considerados.

Tabla N° 20. Dimensiones de los pabellones.

Pabellón	Altura (m)	Longitud X (m)	Longitud Y (m)
Recría-finalización 1-24	2,9-5,3	105	12,6
Zona Transferencia	4,5	50	15

7.2 Anexo Nº2. Análisis de receptores.

A continuación, se presentan los gráficos ciclo diario de las concentraciones de olor, para para los tres receptores que presentaron la concentración más alta (R6, R24 y R29). Estos gráficos permiten detectar las horas en donde ocurren las mayores concentraciones durante el día, respecto al 90% observado del tiempo (variación entre el percentil 5 y percentil 95).

Receptor 6

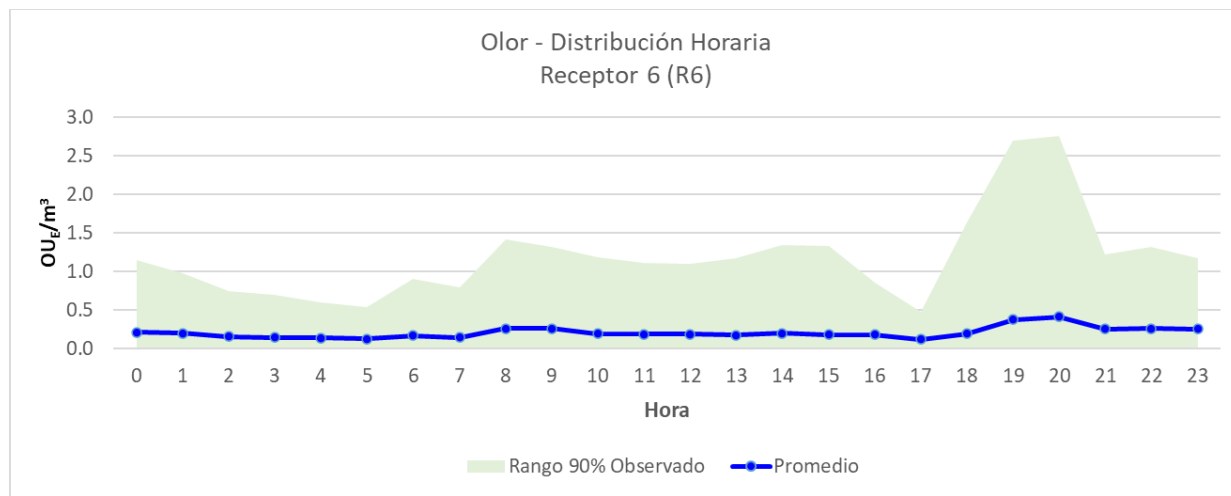


Figura Nº 15. Concentraciones horarias (OU_E/m³), Distribución horaria. Receptor Nº6.

En la figura anterior se muestra, el comportamiento de las concentraciones de olor durante el día, se puede observar que los mayores valores se presentan durante el día, alcanzando la mayor concentración a las 20:00 hrs, con 2,8 OU_E/m³, lo que quiere decir que al noreste del plantel el olor puede ser percibido; dentro del rango del 90% observado.

Receptor 24

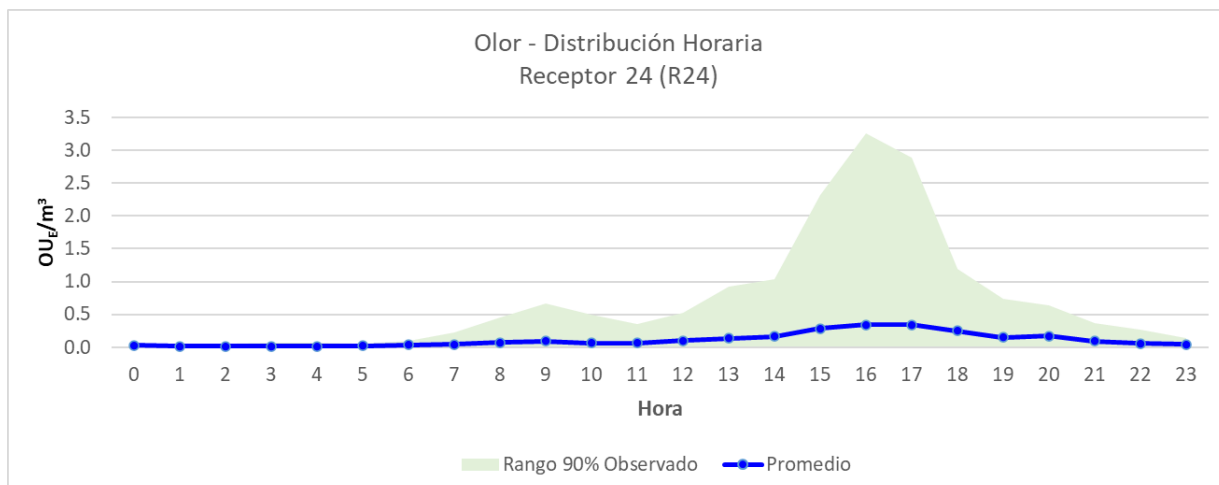


Figura Nº 16. Concentraciones horarias (OU_E/m³), Distribución horaria. Receptor Nº24.

En la figura anterior se muestra, el comportamiento de las concentraciones de olor durante el día. Se puede observar que los mayores valores se presentan durante la tarde, entre las 15:00 y las 17:00 hrs, alcanzando a las 16:00 hrs el valor de 3,3 OU_E/m³, lo que quiere decir que al noreste del plantel el 50% de la población puede percibir el olor, en la peor condición dentro del rango del 90% observado.

Receptor 29

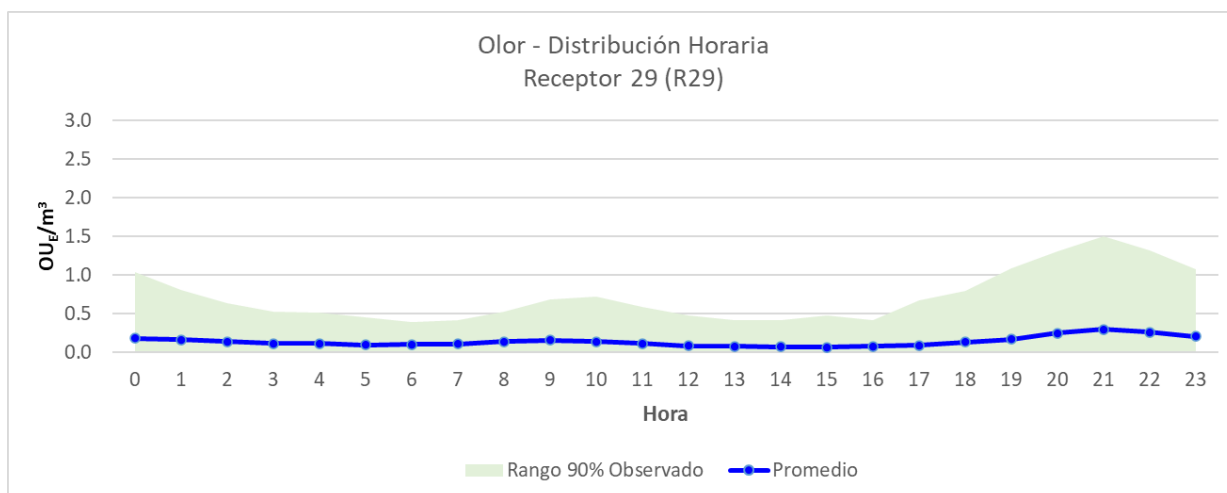


Figura Nº 17. Concentraciones horarias (OU_E/m³), Distribución horaria. Receptor Nº29.

En la figura anterior se muestra, el comportamiento de las concentraciones de olor durante el día. Acá puede observar que los mayores valores se presentan durante la noche, entre las 20:00 y las 22:00 hrs donde se alcanzan las 1,5 OU_E/m³, mientras que la menor concentración de olor se percibe entre las 2:00 y las 08:00 hrs, alcanzando una concentración de olor de 0,4 OU_E/m³; lo que quiere decir que al noreste del plantel el olor podría ser levemente percibido por el 50% de la población en la peor condición del rango del 90% observado.

7.3 Anexo N°3. Descripción meteorológica y geofísica de la zona

En el siguiente anexo se presenta el análisis de la meteorología de la zona modelada. Los datos expresados a continuación fueron extraídos por la plataforma AGROMET (Red Agroclimática Nacional) y SINCA, correspondientes a las estaciones de monitoreo de Campanacura y Linares.

Tabla N° 21. Datos estaciones meteorológicas consideradas.

Estación Meteorológica		Campanacura	Linares
Coordenada UTM Datum WGS 84	Zona	18H	19H
	Este (m)	768.017	265.805
	Norte (m)	6.014.861	6.031.030
"Periodo del registro (desde DD/MM/AA - hasta DD/MM/AA)"		01/01/2019 - hasta 31/12/2019	01/01/2019 - hasta 31/12/2019
Distancia desde el Plantel (km)		19,1	36,0
Meteorología		Velocidad Viento(VV) Dirección Viento(DV) Temperatura (TA)	

7.3.1 Cantidad de datos

Para realizar el análisis meteorológico y el análisis de incertidumbre es necesario verificar la cantidad de datos presentes en las mediciones ambientales de las estaciones. A continuación, se muestran los datos de las estaciones en la serie de tiempo para comprobar que no existen periodos extensos sin datos durante el año de análisis.

Estación Campanacura:

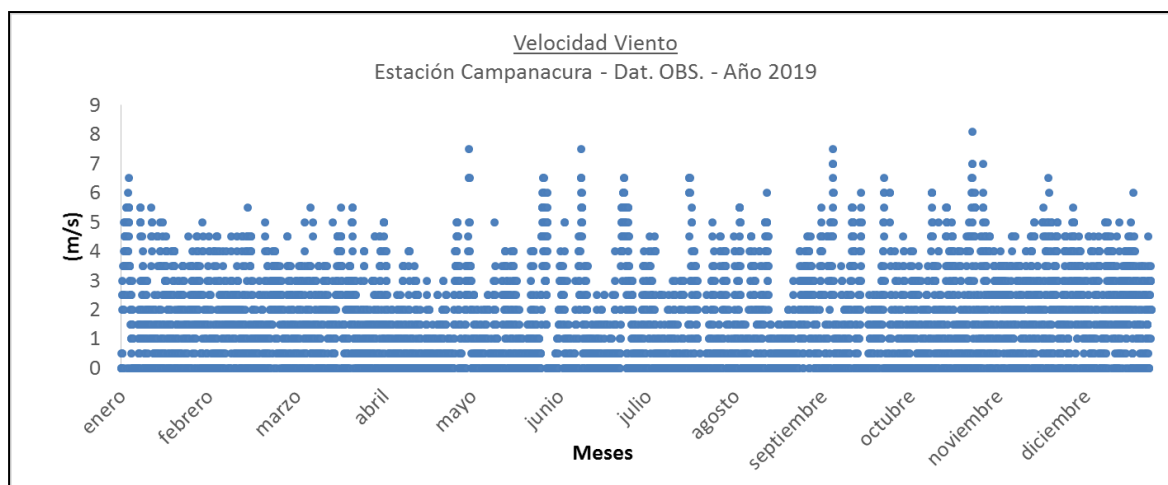


Figura N° 18. Serie de tiempo velocidad de viento – datos observados estación Campanacura – año 2019.

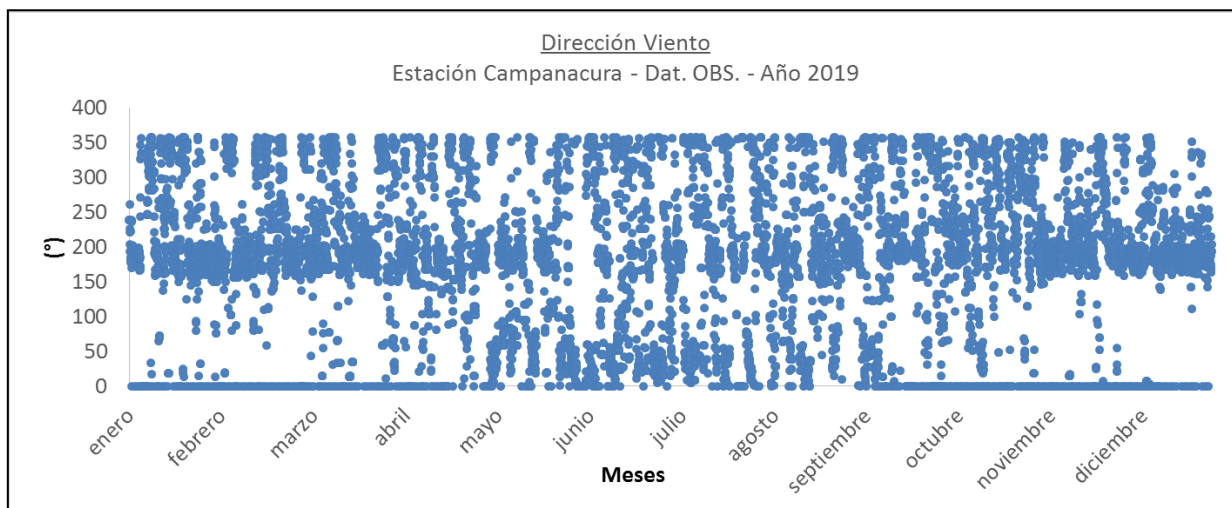


Figura Nº 19. Serie de tiempo dirección de viento – datos observados estación Campanacura – año 2019.

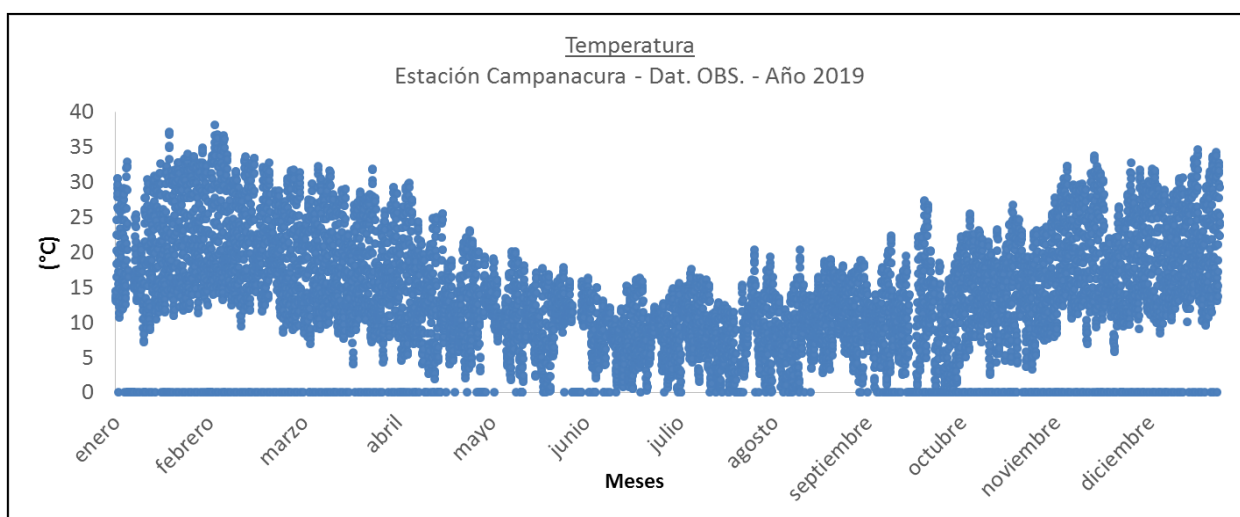


Figura Nº 20. Serie de tiempo temperatura – datos observados estación Campanacura – año 2019.

Tabla Nº 22. Datos válidos estación meteorológica Campanacura.

Porcentaje de datos meteorológicos disponibles – EM Campanacura													
Pará/mes	E	F	M	A	M	J	J	A	S	O	N	D	Total
VV	89%	95%	96%	94%	94%	90%	94%	99%	85%	93%	93%	95%	93%
DV	89%	95%	96%	94%	94%	90%	94%	99%	85%	93%	93%	95%	93%
T	89%	95%	96%	94%	94%	90%	94%	99%	85%	93%	93%	95%	93%

La estación Campanacura posee una cantidad de datos mínima de 85% para velocidad del viento, dirección del viento y temperatura, lo que es superior al 75% sugerido por la Guía para modelos de calidad del aire del SEA.

Estación Linares:

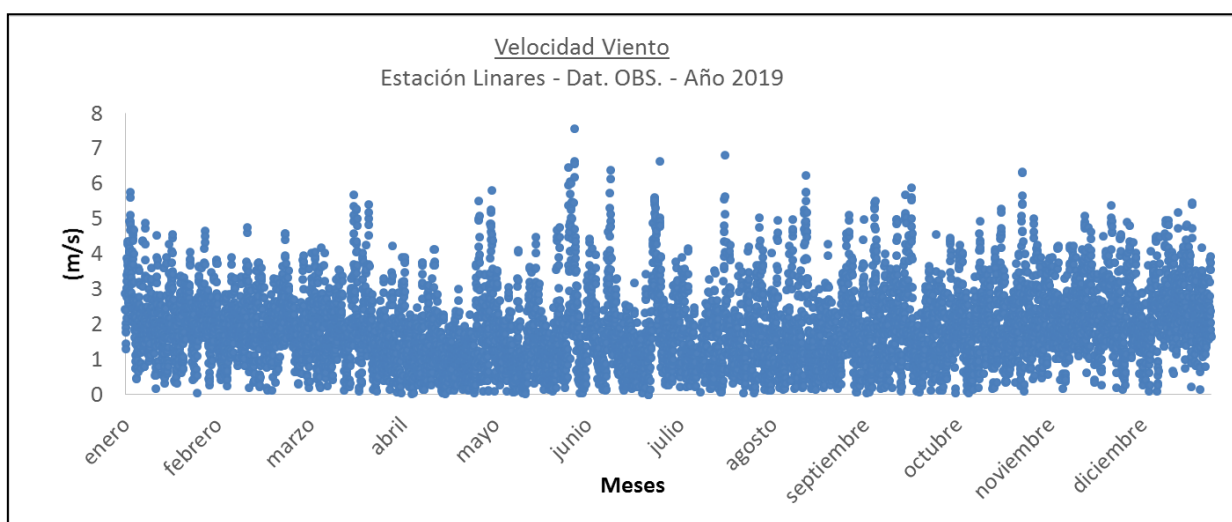


Figura Nº 21. Serie de tiempo velocidad de viento – datos observados estación Linares – año 2019.

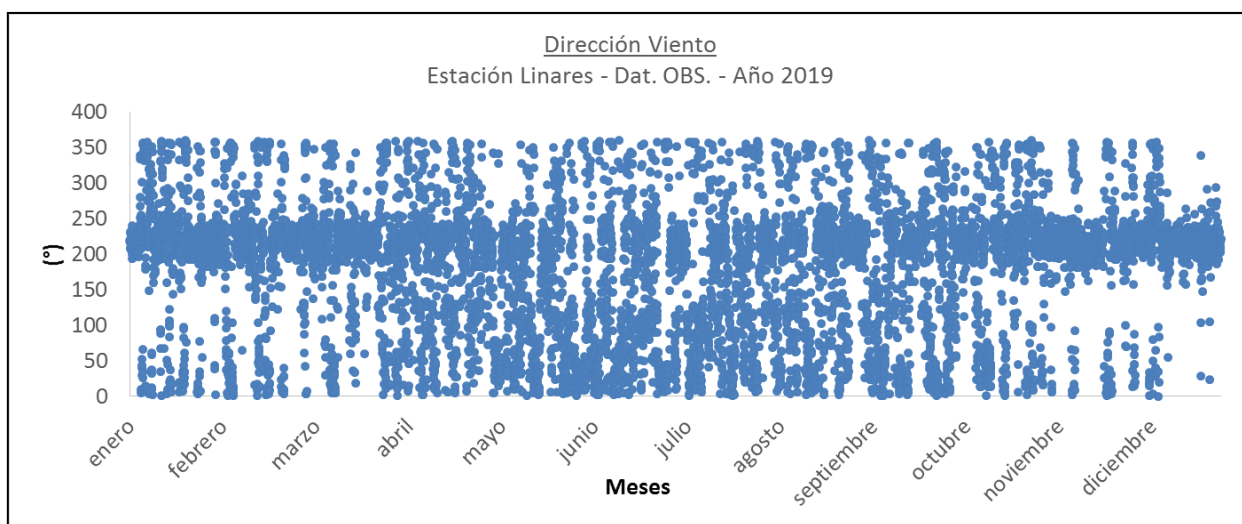


Figura Nº 22. Serie de tiempo dirección de viento – datos observados estación Linares – año 2019.

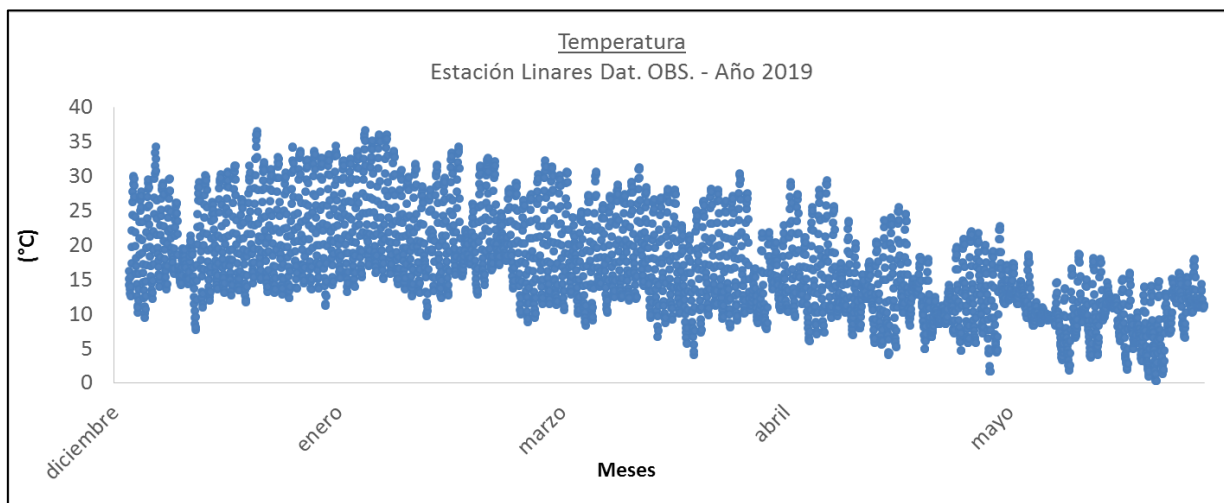


Figura Nº 23. Serie de tiempo temperatura – datos observados estación Linares – año 2019.

Tabla Nº 23. Datos válidos estación meteorológica Linares.

Porcentaje de datos meteorológicos disponibles – EM Linares													
Pará/mes	E	F	M	A	M	J	J	A	S	O	N	D	Total
VV	100%	100%	100%	100%	100%	100%	96%	100%	100%	100%	98%	99%	99%
DV	100%	100%	100%	100%	100%	100%	96%	100%	100%	100%	98%	99%	99%
T	100%	100%	100%	100%	100%	100%	34%	0%	0%	0%	28%	19%	56%

A partir de las gráficas de serie de tiempo de los parámetros velocidad y dirección de viento de la estación Linares, se evidencian una cantidad de datos mínima de un 96%, superior al 75% sugerido por la Guía para modelos de calidad del aire del SEA. De acuerdo a la tabla anterior, las gráficas evidencian una cantidad de datos faltantes para el parámetro de temperatura en los meses de agosto, septiembre y octubre. Además en los meses de noviembre y diciembre para este último parámetro, se observa una cantidad de datos mínima de 28% y 19% respectivamente. Dado que el periodo de evaluación se considera hasta junio 2019 los datos son adecuados.

7.3.2 Gráficos Ciclo diario

Velocidad de viento

En los siguientes gráficos se presenta los ciclos diarios promedios de temperatura, velocidad y dirección del viento; junto con su variabilidad entre el percentil 5% a 95% (Rango 90% observado).

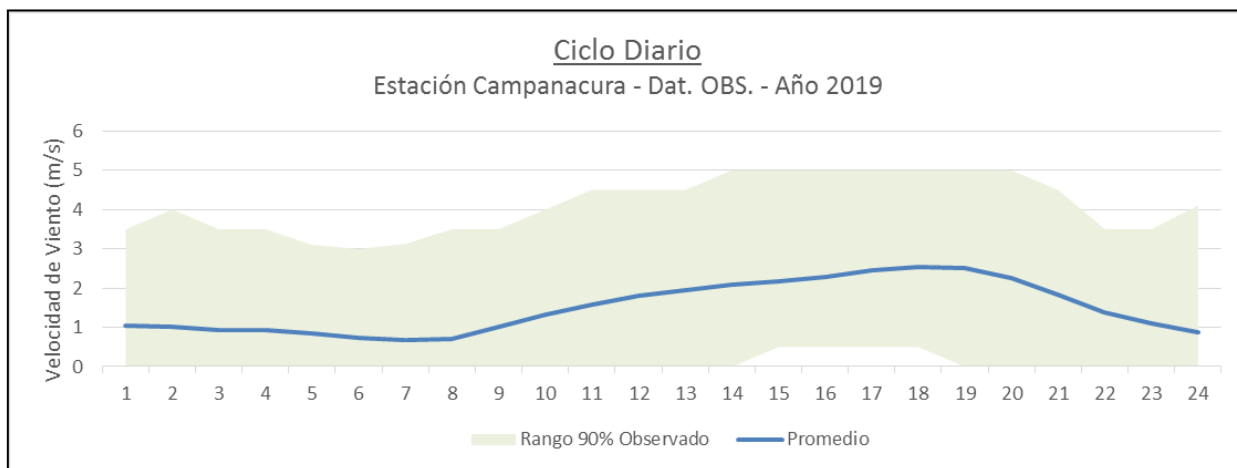


Figura Nº 24. Ciclo diario para velocidad de viento Campanacura.

En relación al ciclo diario promedio de la velocidad de viento, de la estación Campanacura, se observa una velocidad promedio mínima de 0,7 m/s durante la mañana y una velocidad máxima promedio de 2,5 m/s en las horas de la tarde. Durante el año, la velocidad del viento puede variar entre calmas y 5,0 m/s en el rango de 90% observado.

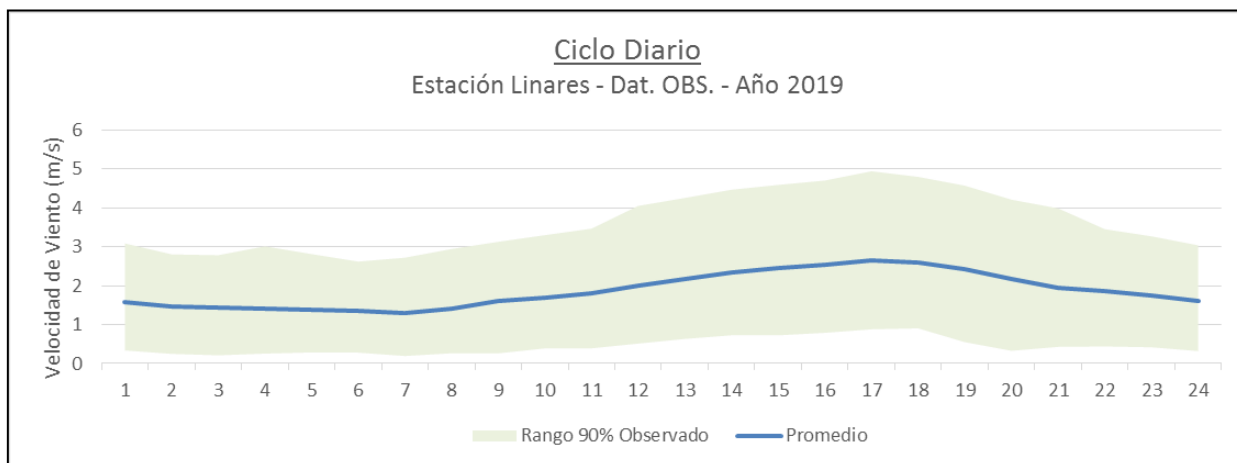


Figura Nº 25. Ciclo diario para velocidad de viento Linares.

En relación al ciclo diario promedio de la velocidad de viento, de la estación Linares, se observa una velocidad promedio mínima de 1,3 m/s durante la mañana y una velocidad máxima promedio de 2,6 m/s en las horas de la tarde. Durante el año, la velocidad del viento puede variar entre calmas y 5,0 m/s en el rango de 90% observado.

Dirección de viento

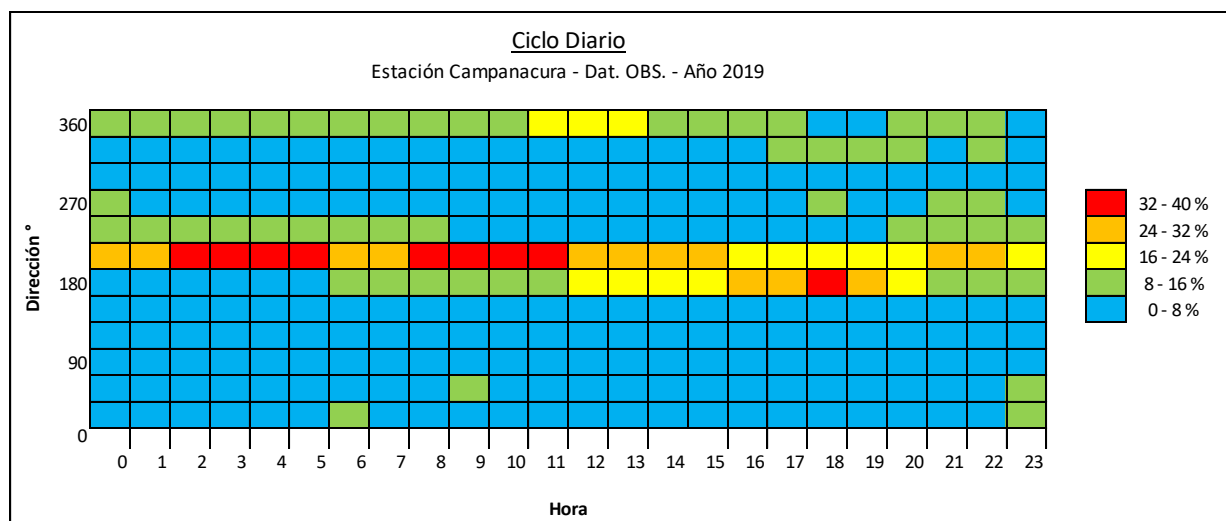


Figura Nº 26. Ciclo diario para dirección de viento estación Campanacura.

En relación al ciclo diario de la dirección de viento de la estación Campanacura, se observa que durante todo el día predominan los vientos provenientes desde el suroeste; dicha condición indica que los gases se dispersan hacia el noreste.

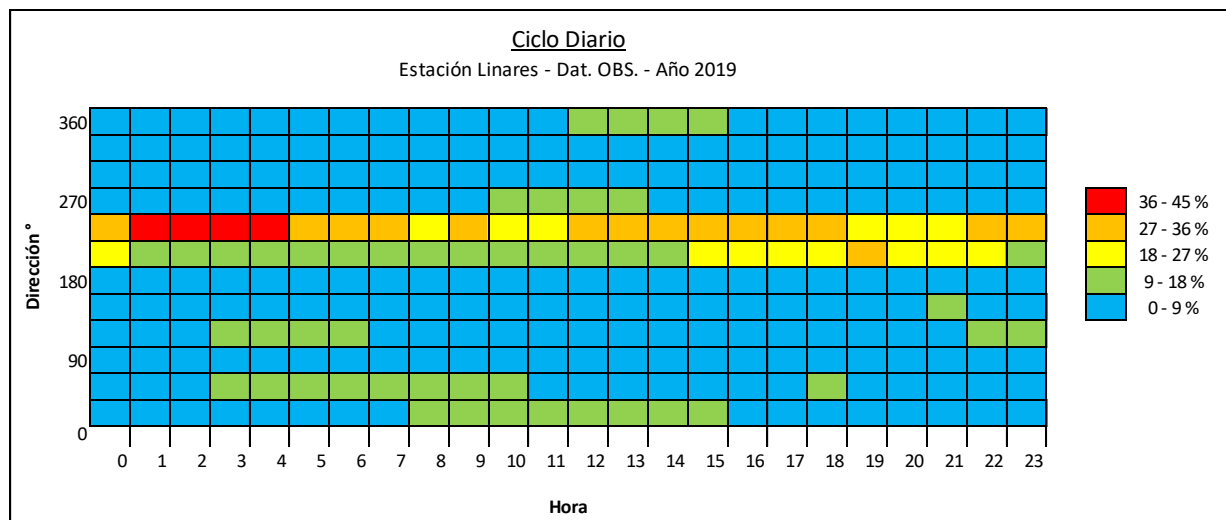


Figura Nº 27. Ciclo diario para dirección de viento estación Linares.

En relación al ciclo diario de la dirección de viento de la estación Linares, se observa que durante todo el día predominan los vientos provenientes desde el suroeste; dicha condición indica que los gases se dispersan hacia el noreste.

Temperatura

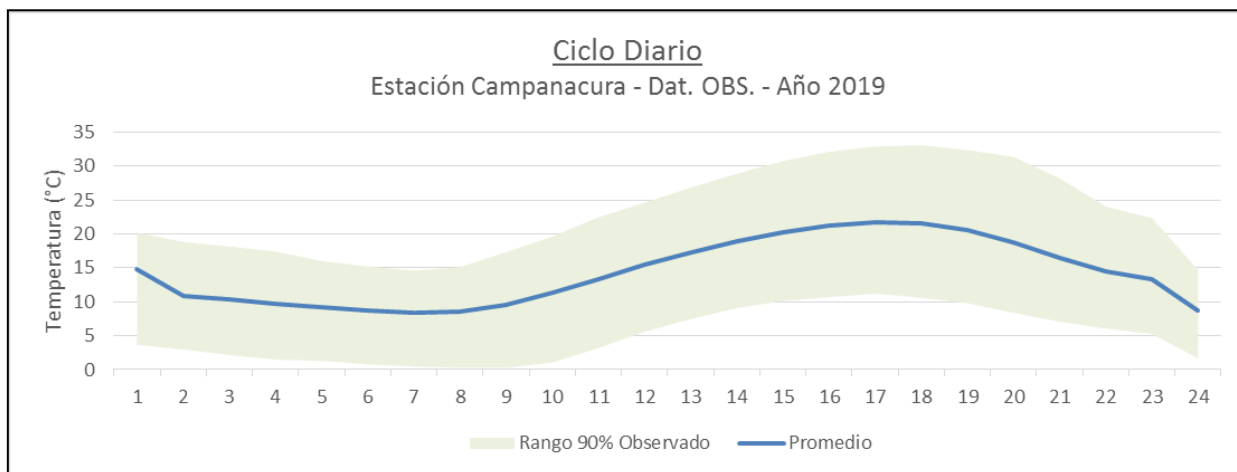


Figura Nº 28. Ciclo diario para temperatura estación Campanacura.

Respecto al ciclo diario de la temperatura, en la estación Campanacura, se observa una temperatura promedio variable de 8°C a 22°C.

La temperatura máxima ocurre a las 17:00 horas mientras que la mínima sucede a las 07:00 horas. Durante el año, la temperatura puede variar entre $\pm 20^{\circ}\text{C}$ respecto al promedio, alcanzando máximas de 33 °C y mínimas de 0°C, respecto al 90% observado.

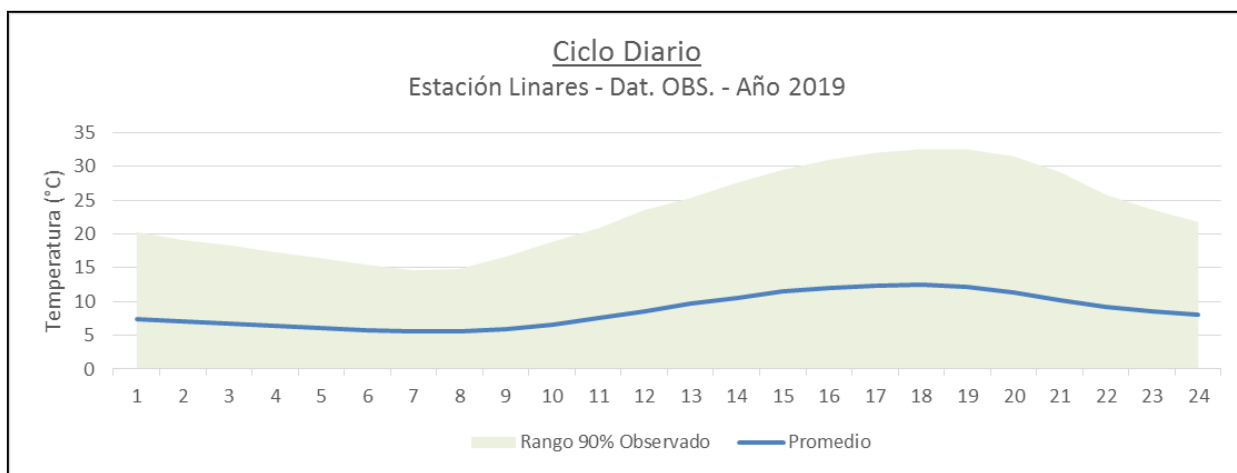


Figura Nº 29. Ciclo diario para temperatura estación Linares.

Respecto al ciclo diario de la temperatura, en la estación Linares, se observa una temperatura promedio variable de 6°C a 12°C. La temperatura máxima ocurre a las 17:00 horas mientras que la mínima sucede a las 08:00 horas. Durante el año, la temperatura puede variar entre $\pm 20^{\circ}\text{C}$ respecto al promedio, alcanzando máximos de 32 °C y mínimas de 0°C, respecto al 90% observado.

7.3.3 Gráficos Distribución de Vientos

Las siguientes figuras muestran la distribución de vientos en las estaciones: Campanadura y Linares. De aquí se puede concluir que la velocidad de los vientos fluye principalmente entre calmas con un 26,7% (velocidad menor a 0,5 m/s) y 39,3% de velocidades de viento entre 0,5 y 2,1 m/s (en la estación meteorológica Campanadura). Las condiciones anteriores proveen una dispersión más acotada alrededor del plantel, disminuyendo el transporte del viento. Adicionalmente se presenta la distribución de vientos para la estación Linares.

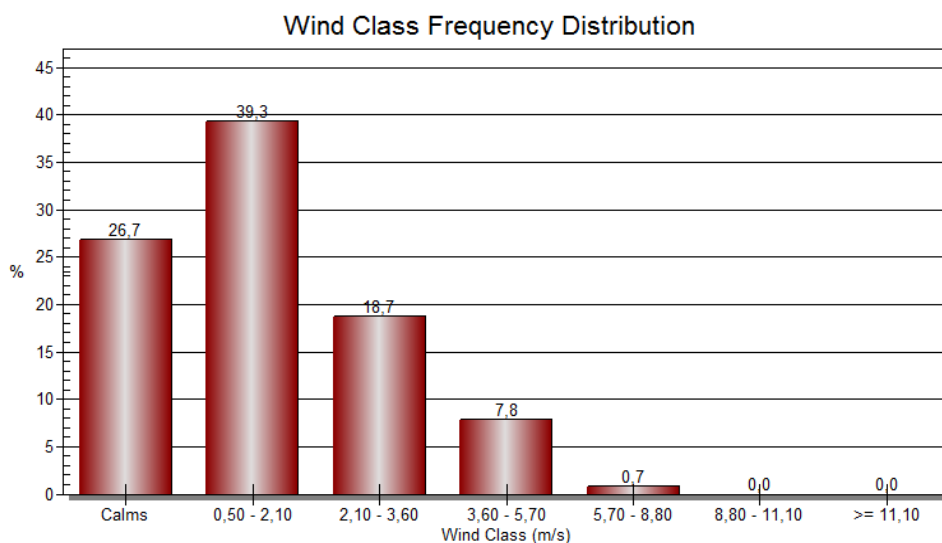


Figura Nº 30. Distribución velocidades de viento estación Campanadura.

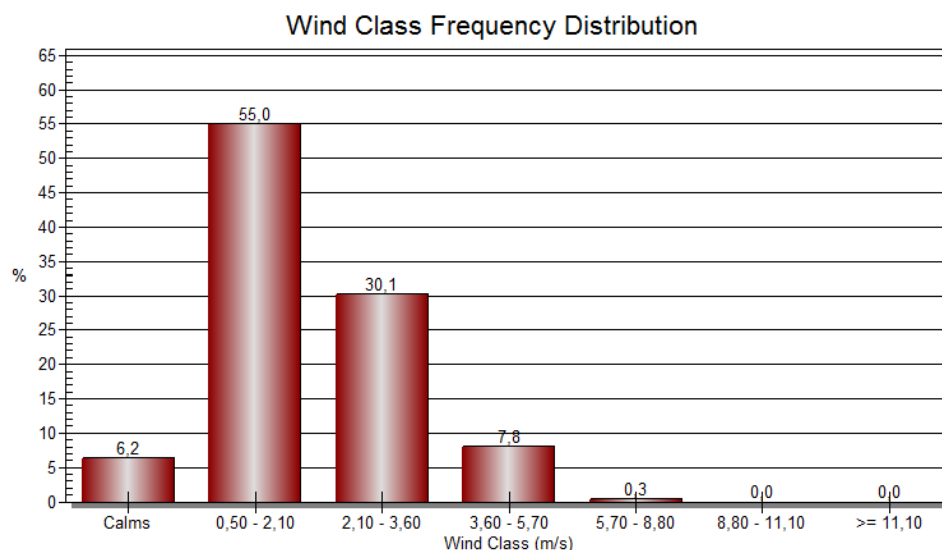


Figura Nº 31. Distribución velocidades de viento estación Linares.

7.3.4 Rosa de los vientos

De la rosa de los vientos anual realizada para cada estación, se puede concluir que el viento predominante proviene desde el sur y suroeste principalmente, alcanzando una frecuencia de un 30% en la estación Linares y un 20% en la estación Campanacura. Cabe destacar que los vientos alcanzan una velocidad que va entre los 4 y 6 m/s en ambas estaciones.

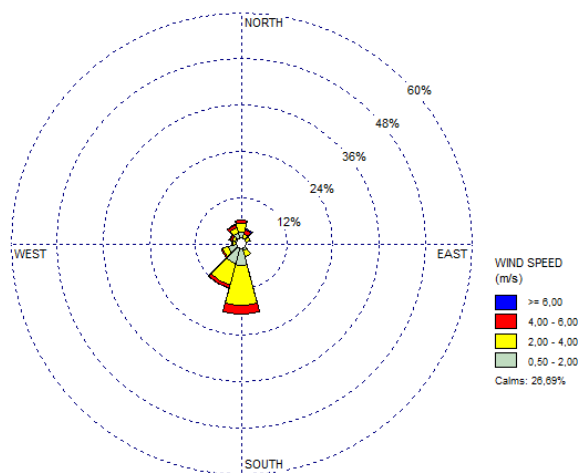


Figura Nº 32. Rosa de los vientos Anual.
Estación Campanacura.

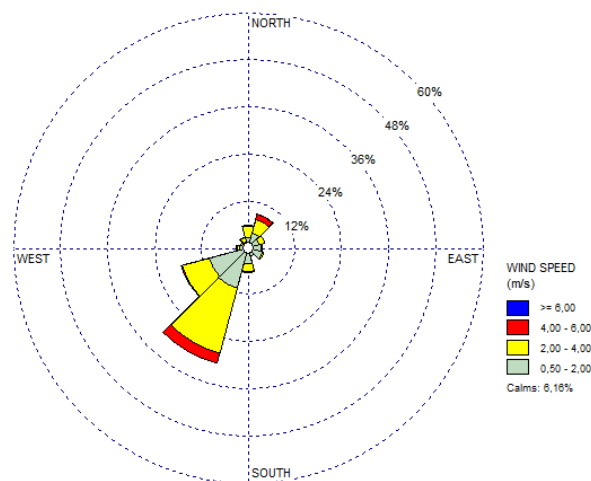


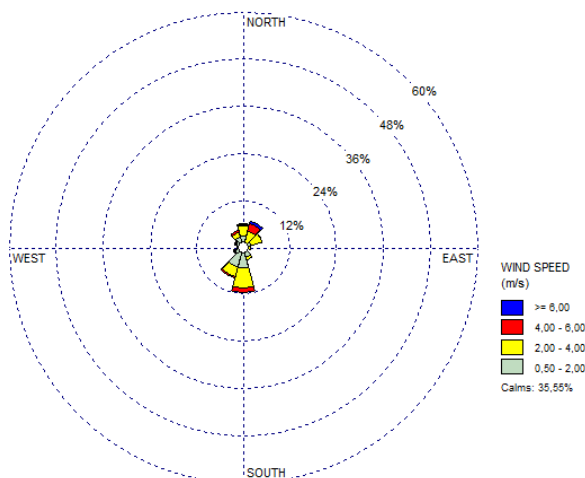
Figura Nº 33. Rosa de los vientos Anual.
Estación Linares.

Por estación

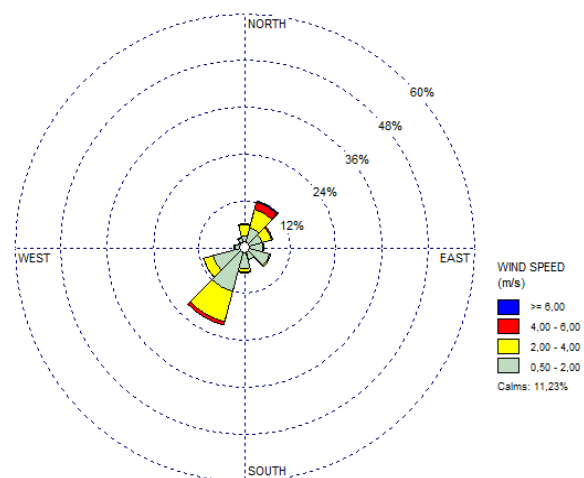
En los gráficos siguientes se muestra una comparación de las rosas de los vientos para cada estación del año.

- En otoño los vientos provienen principalmente desde el sur y suroeste, seguidos en menor frecuencia por los vientos provenientes desde el norte, debido a los periodos de inestabilidad atmosférica. Cabe destacar que las velocidades promedio alcanzan los 4 y 6 m/s, por lo que en este periodo la dispersión de emisiones se da principalmente al noreste.
- En invierno los vientos tienen un comportamiento similar al otoño. Cabe destacar que las velocidades promedio superan los 6 m/s en menor proporción.
- En primavera y verano, los vientos provienen desde el suroeste principalmente alcanzando una frecuencia de un 27% en primavera y 38% en verano. Cabe destacar que las mayores velocidades del viento alcanzan los 4 y 6 m/s, favoreciendo la dispersión de los gases hacia el noreste.

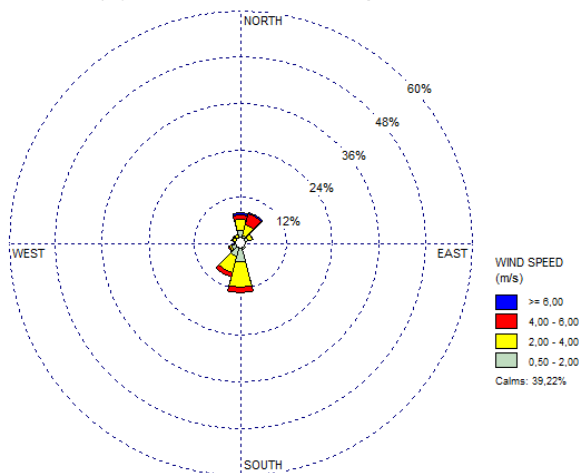
En los gráficos siguientes se muestran las rosas de los vientos para cada estación del año.



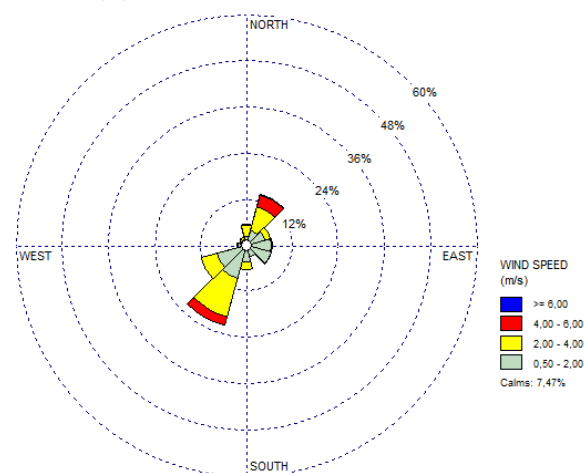
(a) Otoño – EM Campanacura 2019.



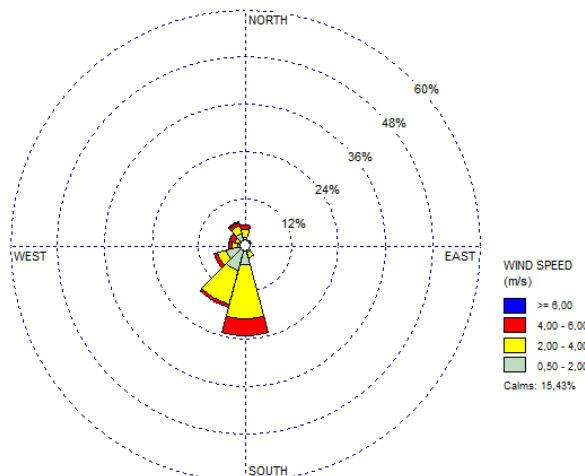
(b) Otoño – EM Linares 2019.



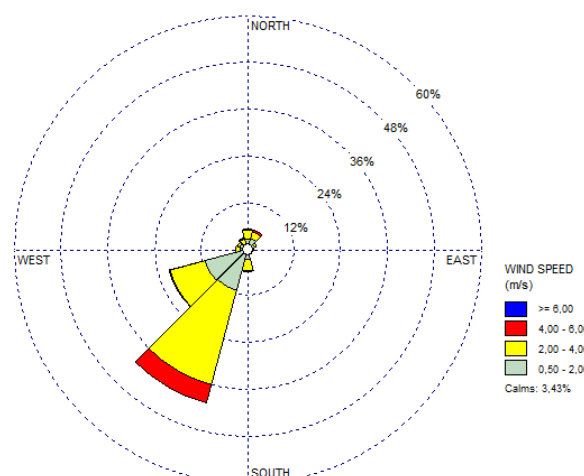
(c) Invierno – EM Campanacura 2019.



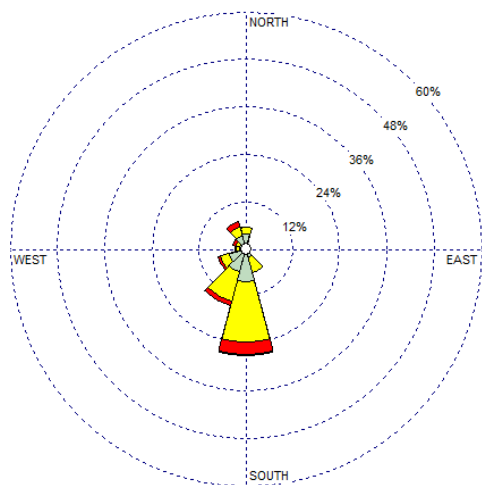
(d) Invierno – EM Linares 2019.



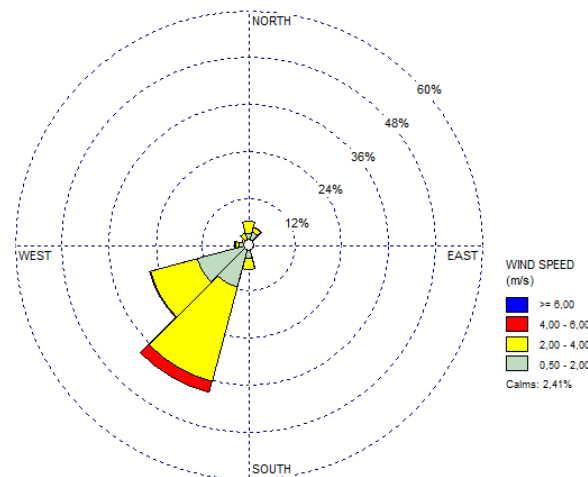
(e) Primavera – EM Campanacura 2019.



(f) Primavera – EM Linares 2019.



(g) Verano – EM Campanacura 2019.



(h) Verano – EM Linares 2019.

Figura Nº 34. Rosa de los vientos por estación del año.

7.3.5 Gráficos ciclo estacional

En las figuras a continuación, se observa la variación estacional de los ciclos de velocidad y dirección de viento. En relación a la dirección de viento en los meses de primavera y verano, se mantiene el ciclo diario con vientos desde el sur y suroeste durante todo el día, mientras que en los meses de junio y julio predominan los vientos provenientes desde el este y norte. Lo anterior indica que la dispersión de gases se dirige hacia el norte y noreste, mientras que en los meses de invierno, según la estación linares, los gases se dirigen hacia el noreste y sur.

Respecto a la velocidad del viento, durante las horas del día en primavera y verano ocurren las mayores velocidades, las que alcanzan los 4 m/s mientras que en horas de la noche presenta velocidades del viento inferior a 1,5 m/s, predominando las calmas en las mañanas y noches según la estación Campanacura. En los meses de invierno las velocidades también varían durante el día alcanzando un máximo de 3 m/s en las horas de la tarde para luego disminuir a 1,5 m/s durante la noche y la mañana.

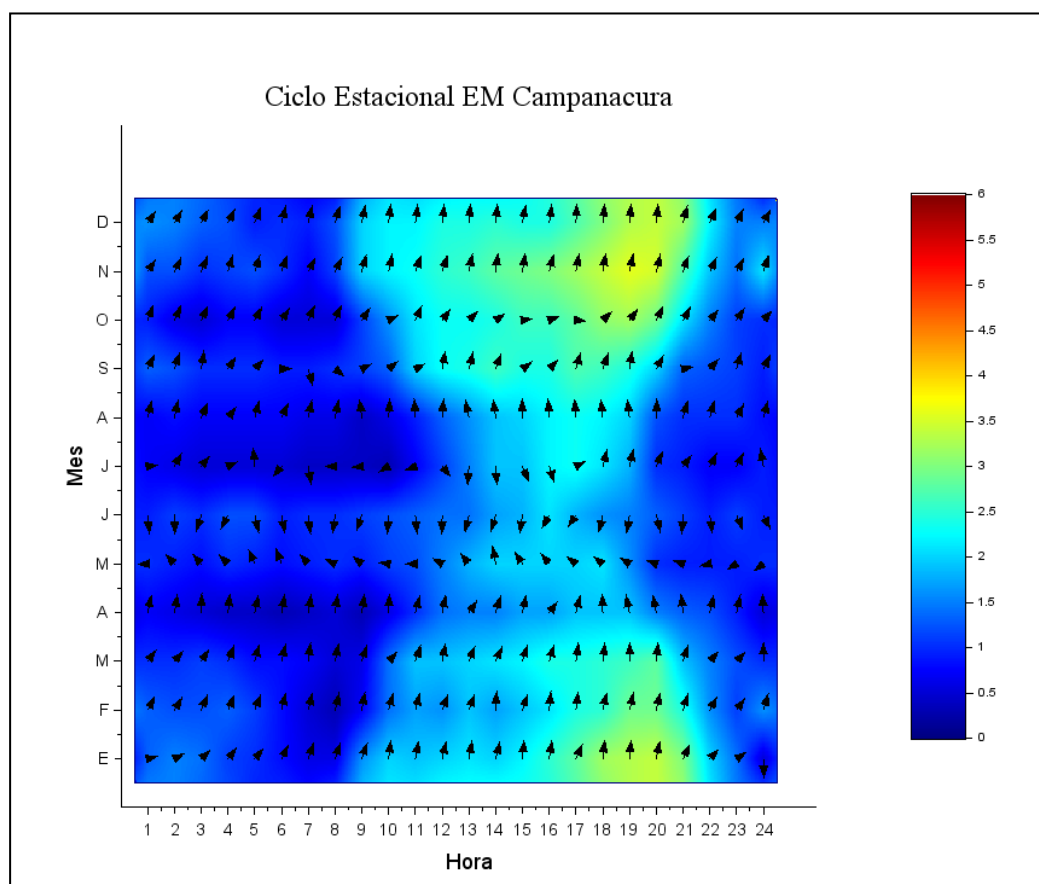


Figura Nº 35. Ciclos estacionales – datos observados estación Campanacura – Año 2019.²³

²³ Las flechas indican hacia donde se dirige el viento.

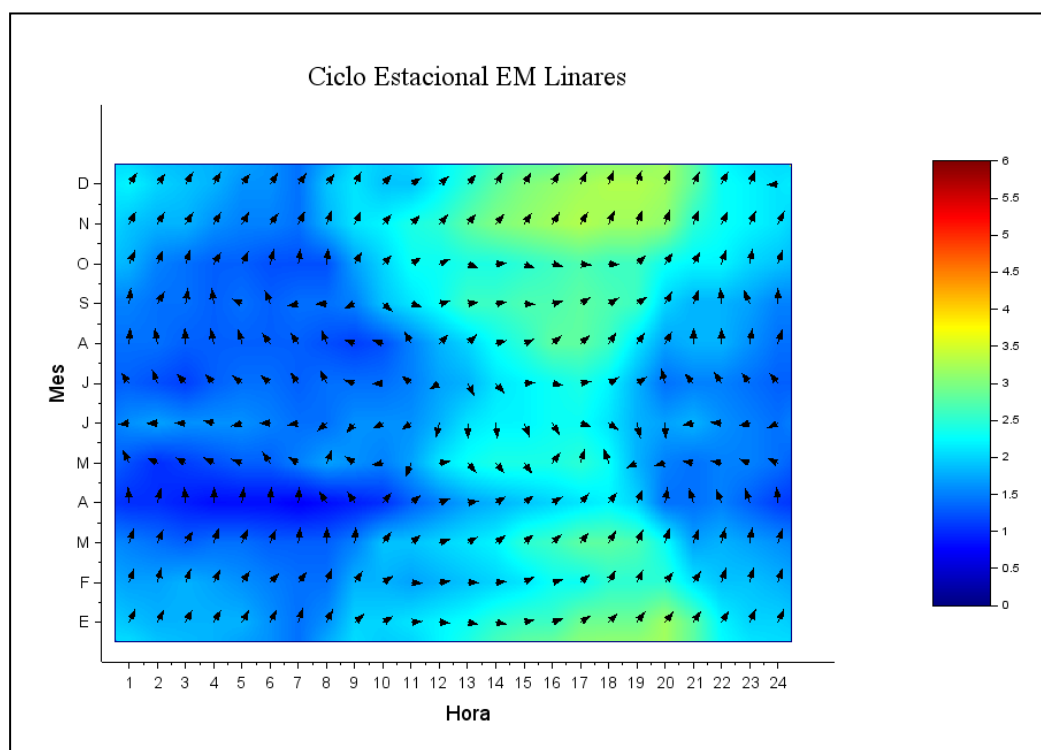


Figura Nº 36. Ciclos estacionales – datos observados estación Linares – Año 2019.

7.3.6 Elevación de Terreno

La zona modelada corresponde a un sector ubicado en la región del Maule, en la depresión intermedia, la que se encuentra rodeada por un cordón de cerros hacia el norte, alcanzando elevaciones de hasta 600 m.s.n.m. hacia el noreste, sin embargo, el plantel de cerdos San Agustín del Arbolito de Coexca S.A se encuentra emplazado en los 100 m.s.n.m.; la comuna más cercana es San Javier, ubicada a 29 km aproximadamente del plantel.

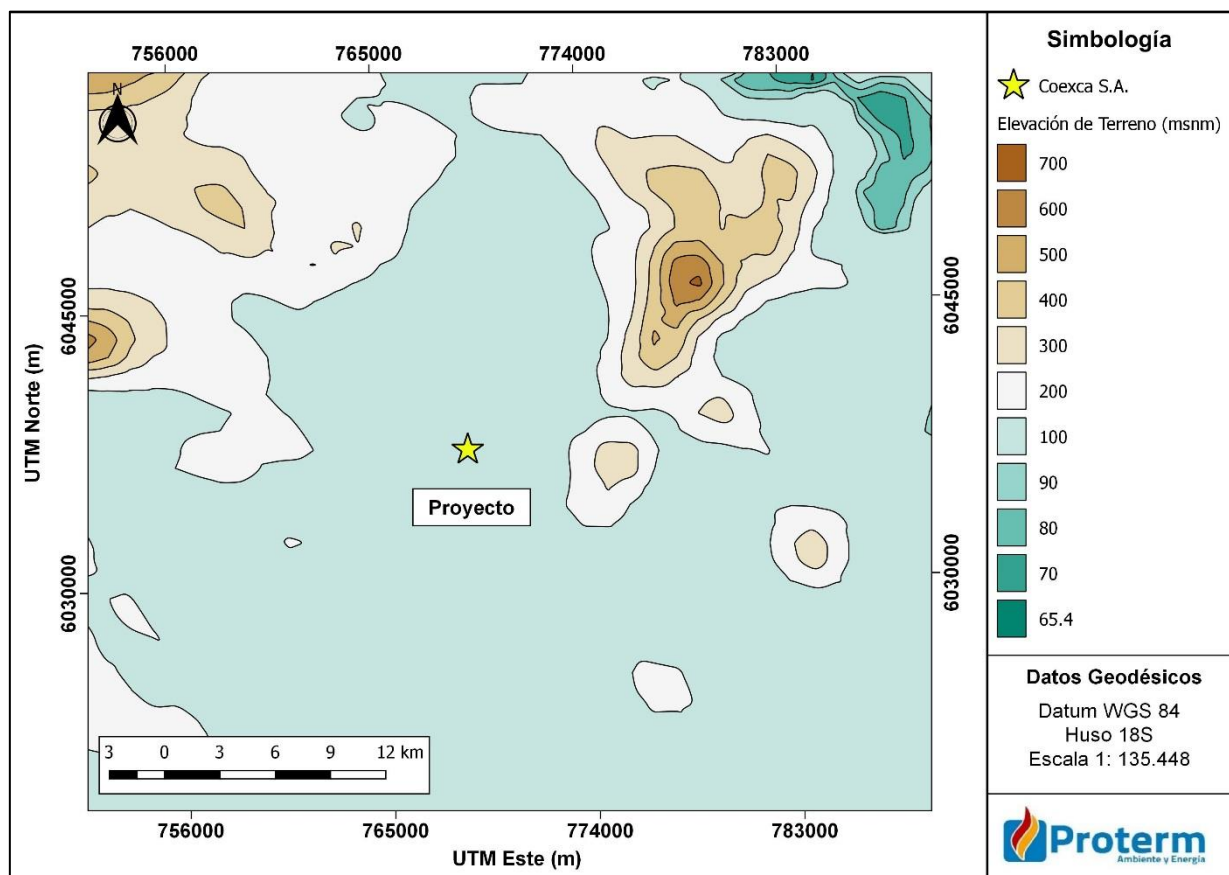


Figura Nº 37. Elevación de terreno archivo WRF.

7.4 Anexo Nº4. Análisis incertidumbre

La “Guía para el Uso de Modelos de Calidad de Aire en el SEIA en su capítulo 7” requiere que se realice una comparación de los registros WRF con información meteorológica local. Para ello se utilizan los datos disponibles en las estaciones de monitoreo ubicadas en la zona de interés para el estudio.

Las estaciones de monitoreo analizadas Campanacura y Linares se encuentran a 19,1 y 36,0 km del plantel de cerdos (hacia el sur y este, respectivamente). Los parámetros monitoreados por dicha estación corresponden a temperatura, velocidad y dirección de viento. Para la evaluación del desempeño se realiza una comparación entre las variables temperatura, velocidad y dirección de viento, ya que éstas son las variables de mayor interés.

Con el fin de evaluar el desempeño, se realiza un análisis cualitativo de los parámetros de interés. El análisis cualitativo se desarrolla mediante la comparación entre los ciclos diarios promedios, mensuales, ciclos estacionales y rosa de los vientos.

Definiciones

Datos observados: Se refiere a los datos provenientes desde una estación de monitoreo durante un periodo de interés.

Datos modelados: Se refiere a los datos meteorológicos provenientes desde un modelo de pronóstico como WRF o MM5.

Rango 90% observado: Se refiere a la variación de los datos entre el percentil 5 y percentil 95 en una hora o mes específico.

7.4.1 Ciclos Diarios promedios

Velocidad de viento

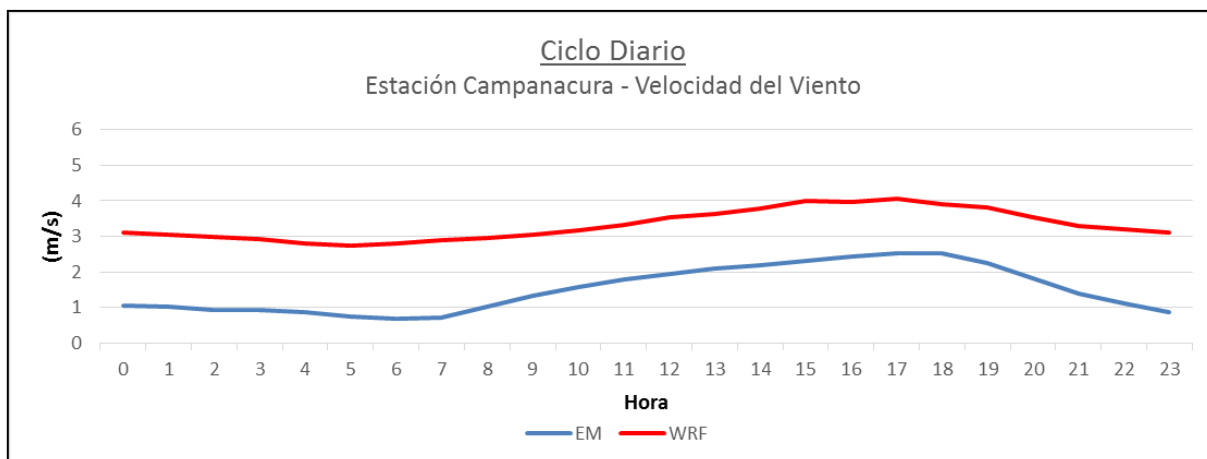


Figura Nº 38. Comparación ciclo diario de velocidad de viento entre datos observados y proyectados para la estación de Campanacura.

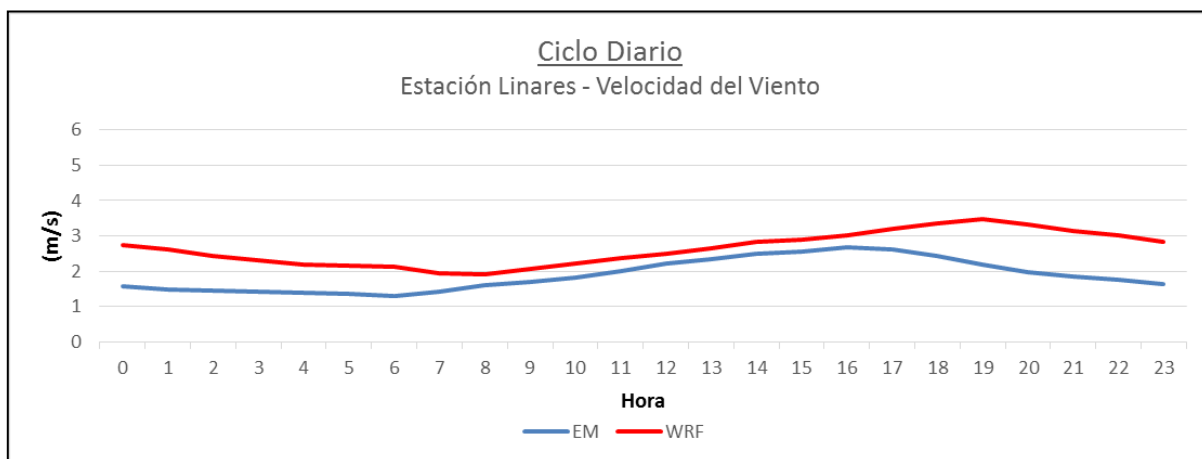


Figura Nº 39. Comparación ciclo diario de velocidad de viento entre datos observados y proyectados para la estación de Linares.

De las figuras anteriores se puede concluir que el ciclo diario promedio de velocidad de viento entre los datos observados y los datos modelados presenta valores sobrestimados en ± 2 m/s en el WRF en comparación a la estación Campanacura. Por otro lado, en la estación Linares los valores se ajustan más a la realidad entre las 08:00 y las 16:00 hrs, mientras que entre las 17:00 y las 06:00 hrs se observa una sobrestimación de los datos del WRF en ± 1 m/s en comparación a los datos observados. A pesar de la leve sobreestimación de los datos, se puede concluir que los datos presentan una variación diaria de velocidad con un patrón similar al del modelo de pronóstico y el observado en ambas estaciones. La variación de velocidad en la

estación Campanacura puede ser atribuida a las diferencias de altura entre la observación (3 metros) y el archivo WRF (10 metros).

Dirección de Viento

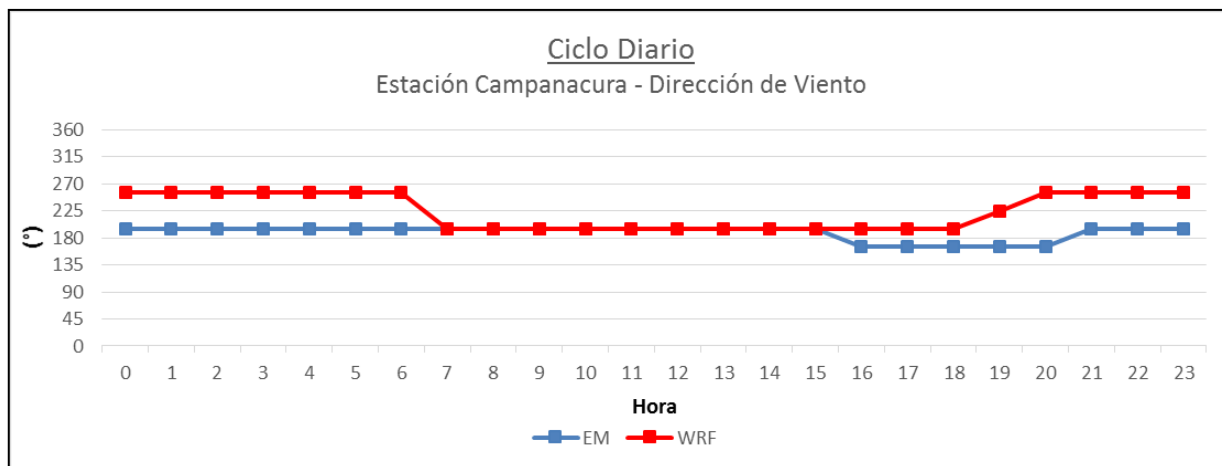


Figura Nº 40. Comparación ciclo diario de dirección de viento entre datos observados y proyectados para la estación de Campanacura.

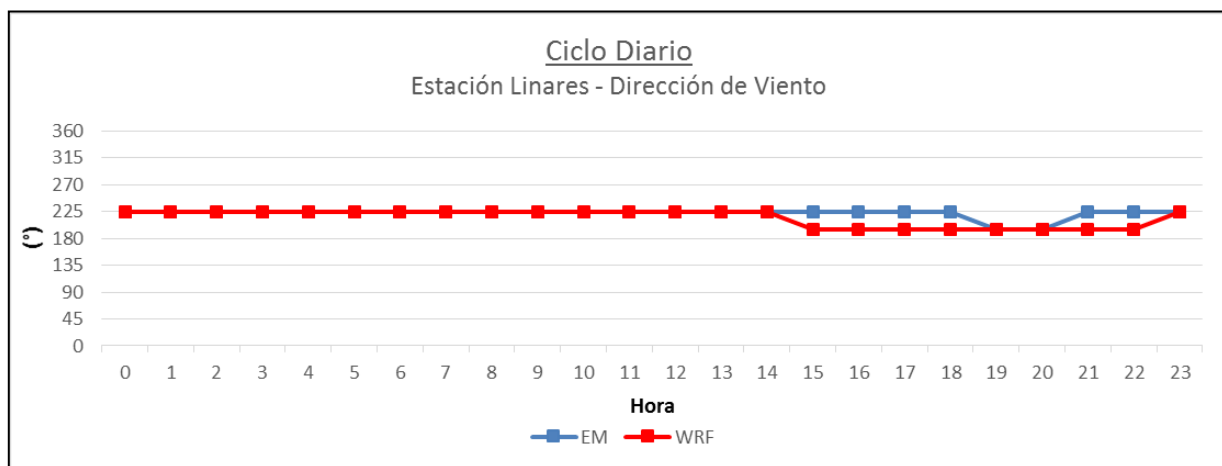


Figura Nº 41. Comparación ciclo diario de dirección de viento entre datos observados y proyectados para la estación de Linares.

De la figura anterior se puede concluir que la moda diaria de dirección del viento entre los datos observados y los datos modelados presentan valores idénticos entre las 07:00 y las 15:00 hrs de la estación Campanacura, mientras que entre las 16:00 y las 06:00 hrs varía levemente la dirección del viento en el WRF en 45° en promedio. Por otro lado, en la estación Linares se observan valores idénticos entre las 23:00 y las 14:00 hrs, mientras que de las 15:00 y las 22:00 hrs se observa una subestimación de 40° en promedio de los datos modelados en comparación a los observados. Dado estas circunstancias, respecto a la moda diaria de dirección de viento, el modelo es adecuado.

Temperatura

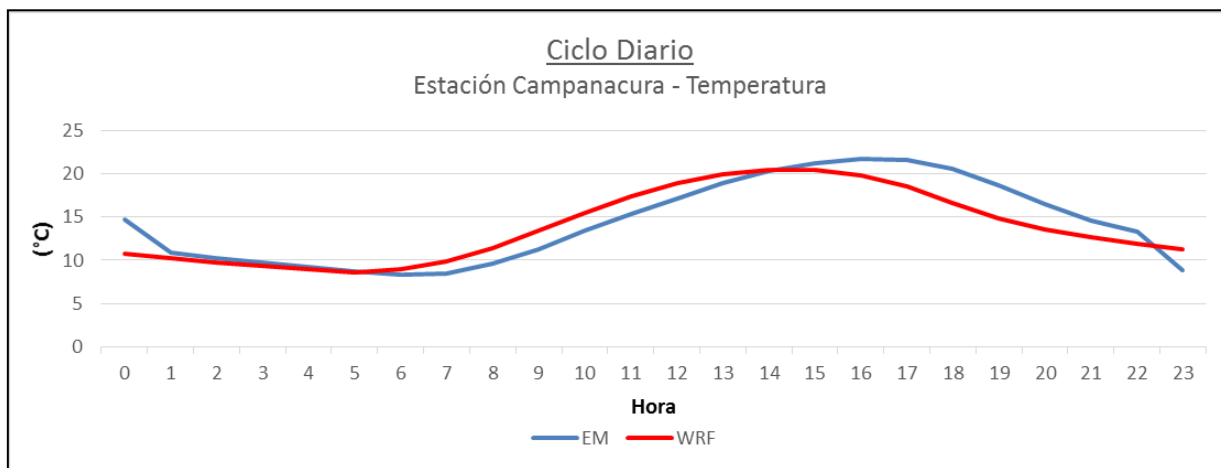


Figura Nº 42. Comparación ciclo diario de temperatura entre los datos observados y proyectados para la estación de Campanacura.

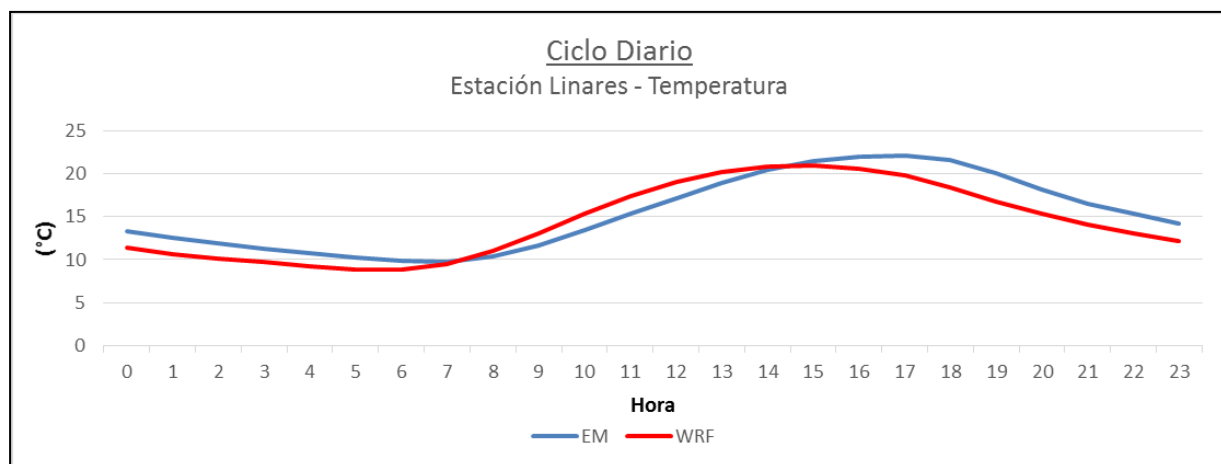


Figura Nº 43. Comparación ciclo diario de temperatura entre los datos observados y proyectados para la estación de Linares.

De las figuras anteriores, se puede concluir que el ciclo diario promedio de temperatura entre los datos observados y los datos modelados presentan valores similares con una diferencia de $\pm 2,5^{\circ}\text{C}$ en la estación Campanacura, mientras que en la estación Linares se presentan datos con valores similares con una diferencia mínima de $\pm 2,0^{\circ}\text{C}$ de los datos modelados con respecto a los observados. Además, la variación diaria de temperatura posee el mismo patrón del modelo de pronóstico y el observado. Dado estas circunstancias, respecto al ciclo diario promedio de temperatura, el modelo es adecuado.

7.4.2 Promedio Mensuales

Velocidad de viento

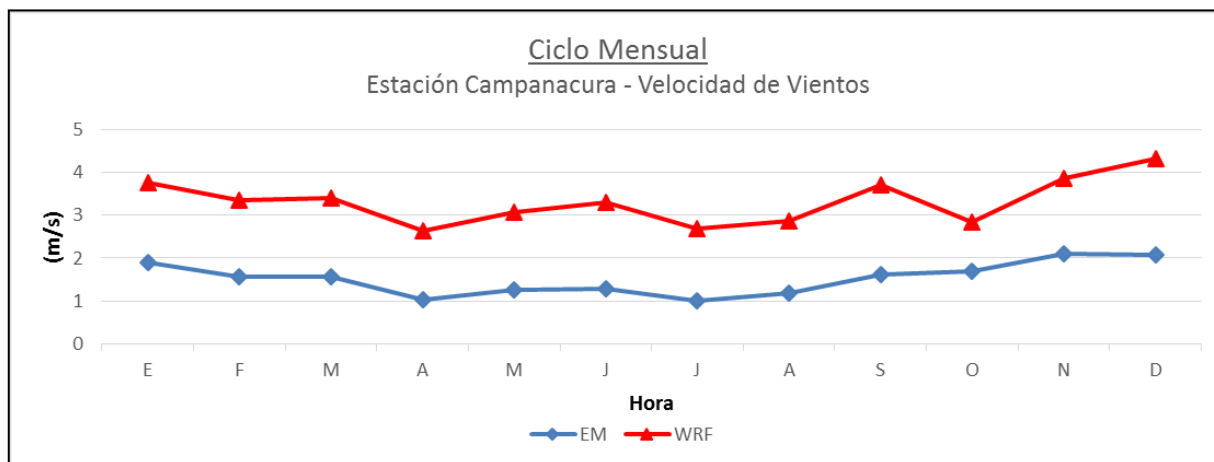


Figura Nº 44. Comparación moda mensual de velocidad de viento entre datos observados y proyectados para la estación de Campanacura.

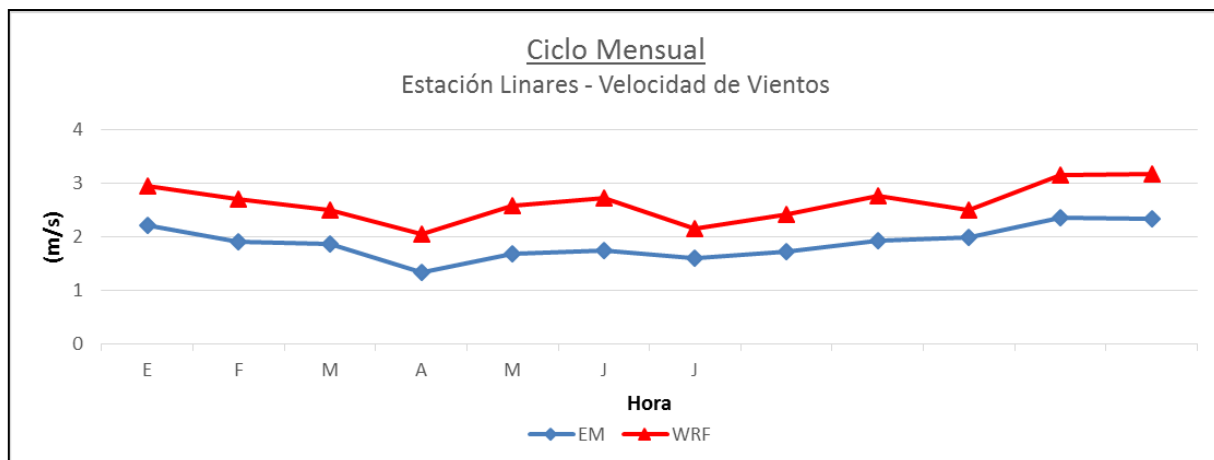


Figura Nº 45. Comparación moda mensual de velocidad de viento entre datos observados y proyectados para la estación de Linares.

De las figuras anteriores se puede concluir que el promedio mensual de velocidad de viento entre los datos observados y los datos modelados presentan valores similares con una diferencia de ± 2 m/s para la estación de Campanacura. En cuanto a la estación de Linares, se presentan diferencia de ± 1 m/s en promedio. La variación mensual de velocidad posee el mismo patrón del modelo de pronóstico y el observado. La variación de velocidad en la estación Campanacura puede ser atribuida a las diferencias de altura entre la observación (3 metros) y el archivo WRF (10 metros).

Dirección de Viento

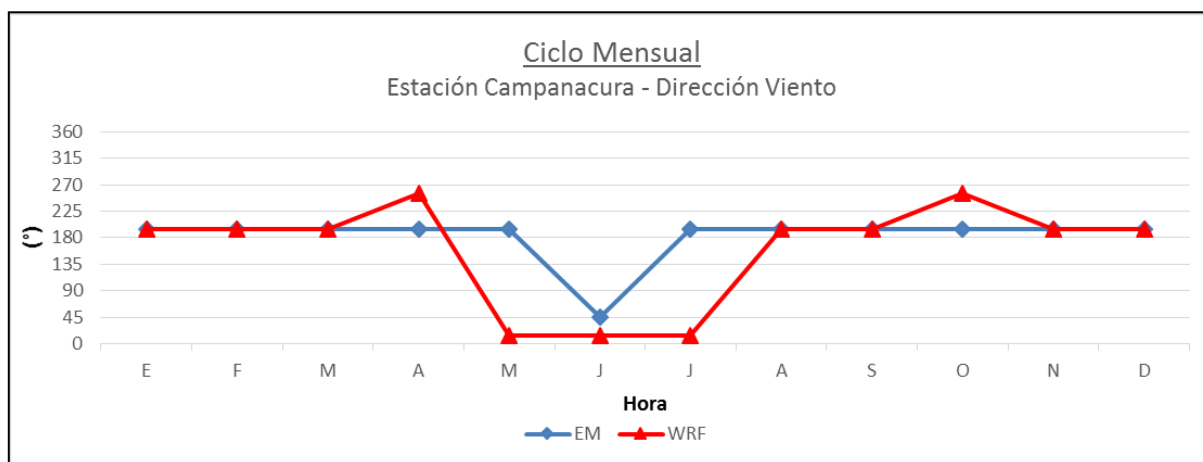


Figura Nº 46. Comparación moda mensual de dirección de viento entre datos observados y proyectados para la estación de Campanacura.

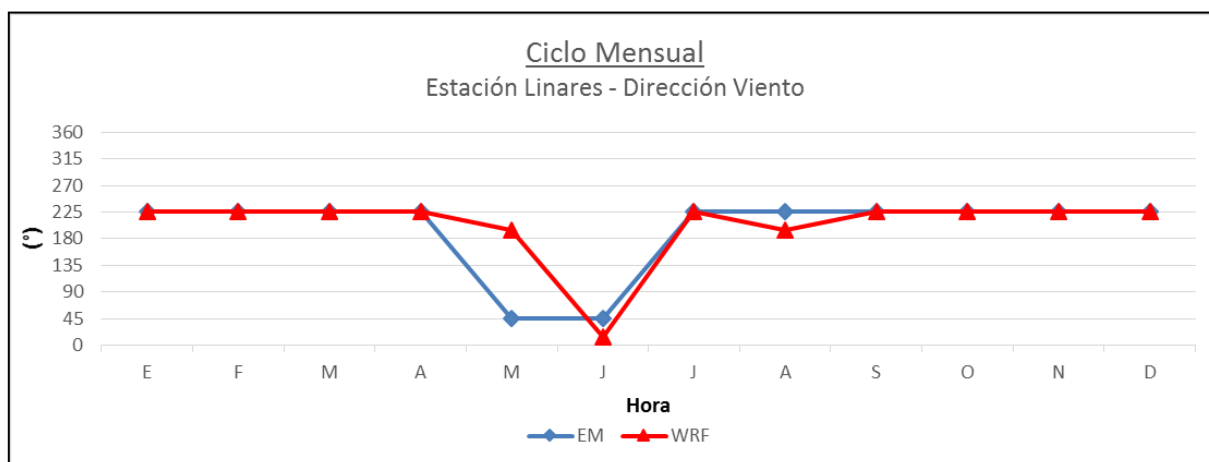


Figura Nº 47. Comparación moda mensual de dirección de viento entre datos observados y proyectados para la estación de Linares.

De las figuras anteriores se puede concluir que la moda mensual de dirección del viento entre los datos observados y los datos modelados presentan valores similares la mayor parte del año, sin embargo, en los meses de abril, mayo y julio, en la estación Campanacura se observa una variación de los datos de 180° en promedio; mientras que en la estación Linares se observa una sola variación en el mes de marzo de los datos en 130° en promedio. Dado estas circunstancias, respecto a la moda mensual de dirección de viento, el modelo es adecuado.

Temperatura

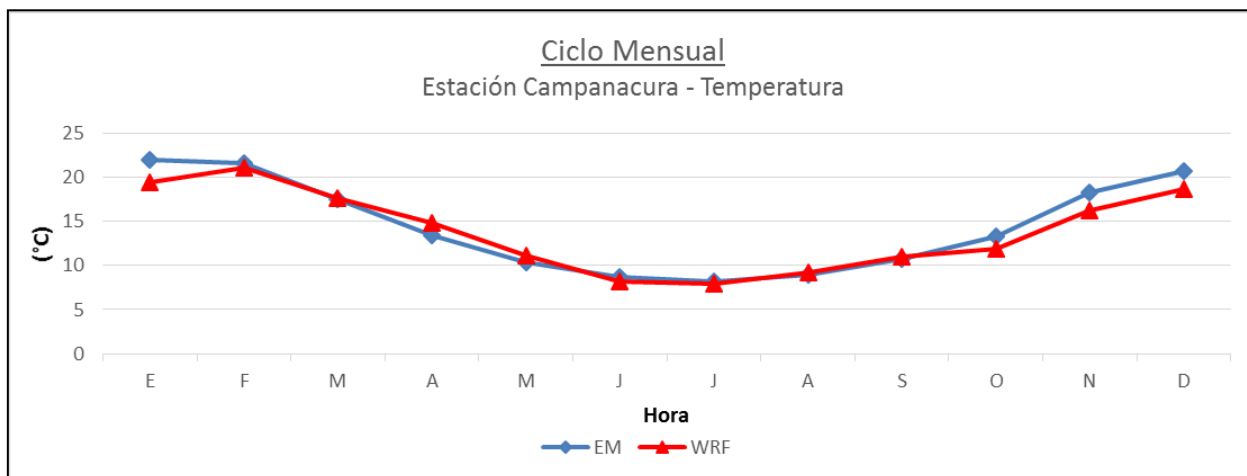


Figura N° 48. Comparación moda mensual de temperatura entre los datos observados y proyectados para la estación de Campanacura.

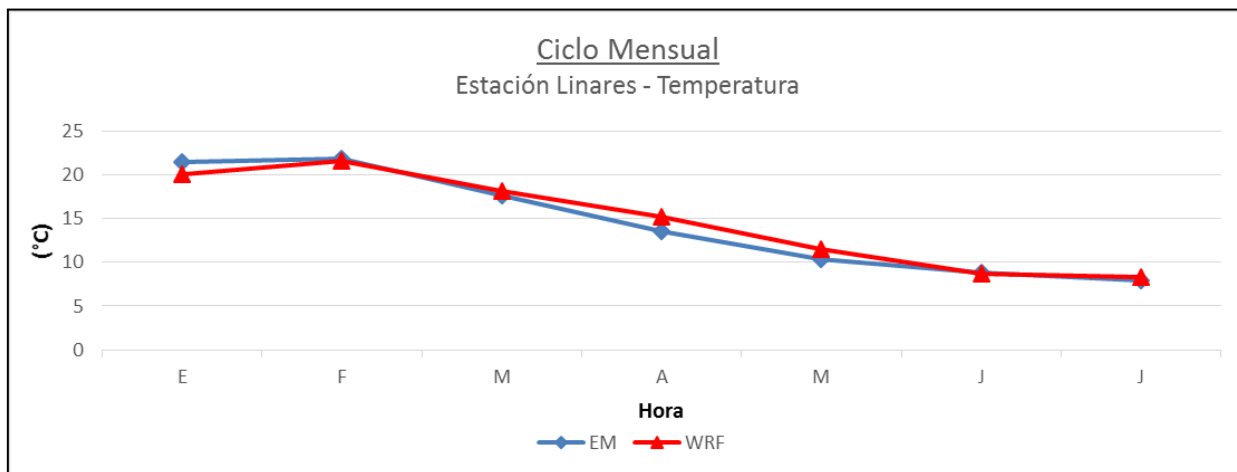
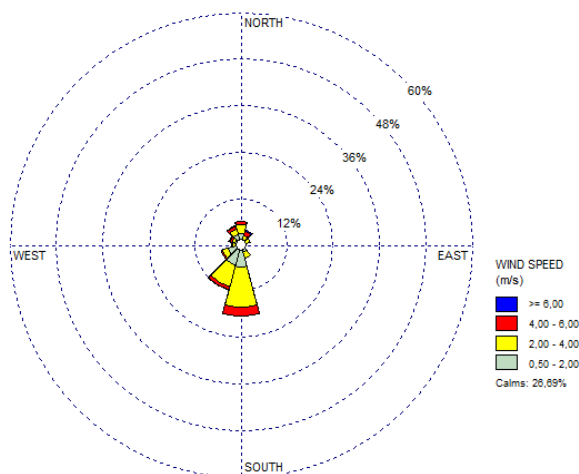


Figura N° 49. Comparación moda mensual de temperatura entre los datos observados y proyectados para la estación de Linares.

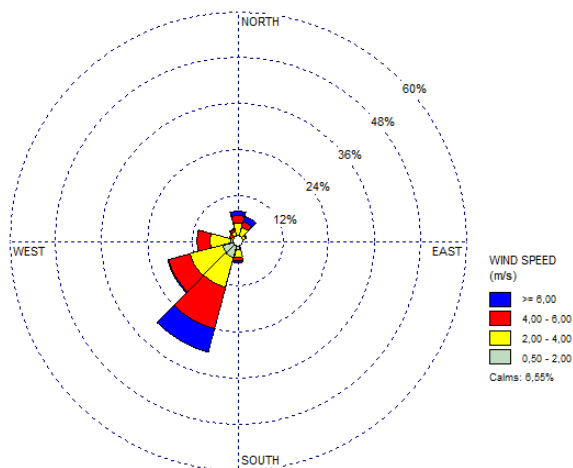
De la figura anterior, se puede concluir que los promedios mensuales de temperatura entre los datos observados y los datos modelados presentan valores similares con una diferencia de $\pm 1^\circ\text{C}$ en promedio. Además, la variación mensual de temperatura posee el mismo patrón del modelo de pronóstico y el observado en ambas estaciones. Dado estas circunstancias, respecto al promedio mensual de temperatura, el modelo es adecuado.

7.4.3 Dirección de viento

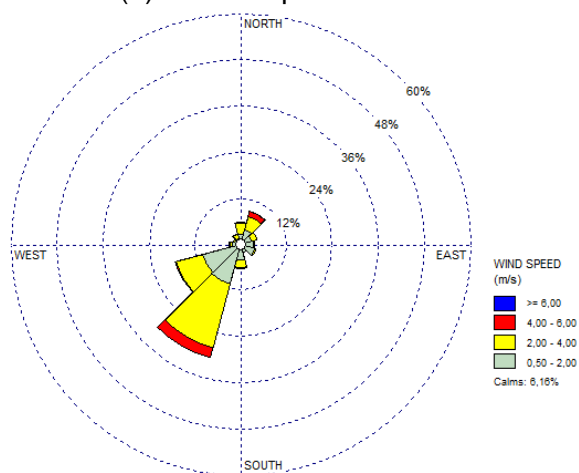
Rosa de los vientos



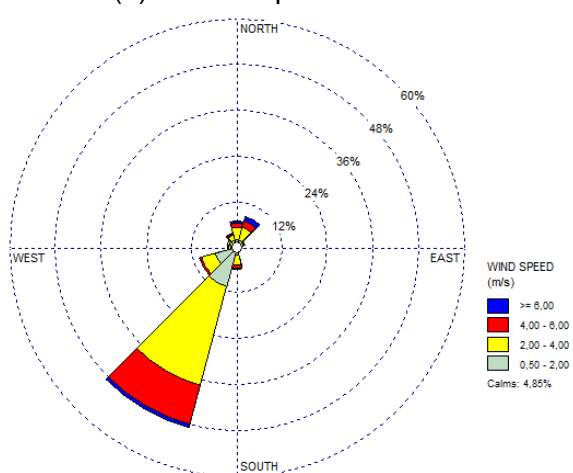
(a) EM Campanacura - OBS



(b) EM Campanacura - WRF



(c) EM Linares - OBS



(d) EM Linares - WRF

Figura N° 50. Comparación Rosas de viento.

De las rosas de los vientos mostradas, se puede observar que en Campanacura predominan los vientos provenientes desde el sur y suroeste; mientras que en Linares predominan los vientos provenientes desde el suroeste por completo. En general el modelo y los datos observados son similares exceptuando las velocidades más altas donde aparece un aumento de los vientos sobre 6 m/s en los datos modelados en Campanacura. El modelo presenta un patrón similar de viento por lo que se puede indicar que el modelo es adecuado.

7.4.4 Análisis cuantitativo

De acuerdo a lo solicitado por la Guía para uso de modelos de calidad del aire en el SEIA, se presenta el análisis cuantitativo de las variables meteorológicas involucradas en la modelación. En el análisis se incluye las variables temperatura y velocidad de viento, con las métricas solicitadas: Sesgo (error medio), coeficiente de correlación y error medio cuadrático.

Tabla N° 24. Análisis cuantitativo.

Parámetro	Métrica	Campanacura		Linares	
		Horario	Diario	Horario	Diario
Velocidad	RMSE	2,42 m/s	2,08 m/s	1,43 m/s	1,00 m/s
	BIAS	1,80 m/s	1,83 m/s	0,76 m/s	0,75 m/s
	R ²	0,64	0,58	0,72	0,74
Temperatura	RMSE	3,2 °C	1,44 °C	2,42 °C	1,47 °C
	BIAS	0,07 °C	0,09 °C	0,15 °C	0,12 °C
	R ²	0,90	0,49	0,95	0,97

Los resultados anteriores son comunes en archivos meteorológicos WRF. De la tabla anterior es posible observar que las diferencias de velocidades, son mayores en la estación de Campanacura, atribuido a las diferencias de altura entre la observación (datos a 3 metros sobre el nivel de suelo) y el archivo WRF (datos a 10 metros).